

# Modelli di shop scheduling

## 1. Considerazioni generali

- In molti ambienti produttivi l'esecuzione di un *job* richiede l'esecuzione non simultanea di un certo numero di operazioni su macchine dedicate.
- Ogni job in ogni istante può essere eseguito su una sola macchina, cioè le operazioni di uno stesso job non possono essere eseguite simultaneamente.
- Ogni macchina può eseguire un job alla volta.
- L'ambiente di processamento è pertanto quello dei modelli di (*general*) *shop scheduling*, così definito:
  - Sono dati  $n$  job  $j = 1, \dots, n$ .
  - Sono date  $m$  macchine dedicate  $M_1, \dots, M_m$ .
  - Il job  $j$  è formato da  $n_j$  operazioni (task)  $T_j^1, \dots, T_j^{n_j}$ .
  - L'operazione  $h$ -esima del job  $j$ ,  $T_j^h$ , deve essere eseguita sulla macchina dedicata  $\mu_j^h \in \{M_1, \dots, M_m\}$  per un tempo di processamento  $p_j^h$ .
- In generale, le operazioni di uno stesso job devono essere eseguite rispettando delle relazioni di precedenza.

# Modelli di shop scheduling

## 1. Considerazioni generali

(continua)

- L'obiettivo è determinare una schedula ammissibile che minimizza una funzione (regolare) dei tempi di completamento dei job.
- In base al *numero di operazioni di ciascun job* e alle *relazioni di precedenza tra le operazioni di uno stesso job* si definiscono *tre modelli* particolari.

### 1) *Open-Shop*:

- Il job  $j$  è costituito da  $n_j = m$  operazioni,  $\forall j$ , e l'operazione  $T_j^h$  richiede la macchina  $\mu_j^h = M_h, \forall h$ .
- Non sono date relazioni di precedenza fra le operazioni di uno stesso job.

### 2) *Flow-Shop*:

- Il job  $j$  è costituito da  $n_j = m$  operazioni,  $\forall j$ , e l'operazione  $T_j^i$  richiede la macchina  $\mu_j^i = M_h, \forall h$ .
- L'esecuzione di  $T_j^h$  deve precedere quella di  $T_j^{h+1}, \forall j, \forall h = \{1, \dots, m-1\}$ .

### 3) *Job-Shop*:

- il numero  $n_j$  di operazioni del job  $j$  è arbitrario,  $\forall j$ , e l'operazione  $T_j^h$  richiede la macchina  $\mu_j^h \in \{M_1, \dots, M_m\}, \forall h$ .
- L'esecuzione di  $T_j^h$  deve precedere quella di  $T_j^{h+1}, \forall j, \forall h = \{1, \dots, n_j-1\}$ .

# Modelli di shop scheduling

## 1. Considerazioni generali

(continua)

- Una volta che l'operazione  $T_j^h$  del job  $j$  è stata eseguita dalla macchina  $\mu_j^h$ , l'operazione viene immagazzinata nel *buffer d'uscita* della macchina  $\mu_j^h$  se non è disponibile la macchina per processare l'operazione successiva del job  $j$ .
- La *capacità di immagazzinamento* può essere *illimitata o limitata*.
- Nel caso di *capacità di immagazzinamento illimitata* non appena un job è completato su una macchina, la stessa diventa libera anche se il job appena completato non trova subito disponibile la macchina successiva.
- Nel caso di *capacità di immagazzinamento limitata* può invece capitare che, a causa dell'esaurimento di questa capacità, un job pur avendo completato il suo processamento su una macchina non può renderla disponibile per il successivo provocando così un *blocco*. In corrispondenza a queste due possibilità occorre considerare modelli ed algoritmi di soluzione diversi.
- Nel seguito esamineremo alcuni modelli di flow-shop, open-shop e job-shop, ipotizzando *capacità di immagazzinamento illimitata*.
- Per semplicità di notazione, indicheremo nel seguito con  $T_{ij}$  il task  $T_j^h$  che richiede la macchina  $\mu_j^h = M_i$  e con  $p_{ij}$  il suo tempo di processamento.

# Modelli di shop scheduling

## 2. Il modello $O2||C_{\max}$

- In questo modello vi sono 2 macchine ed  $n$  job.
- Il generico job  $j$  può essere processato prima sulla macchina 1 e poi sulla macchina 2 o viceversa. Il decisore deve *determinare* le *rotte* dei *job* nello shop.
- È ovvio che per il "*makespan*" vale:

$$C_{\max} \geq \gamma = \max \left( \sum_{j=1}^n p_{1j}, \sum_{j=1}^n p_{2j} \right),$$

in quanto il *makespan non può essere minore del maggiore carico di lavoro delle due macchine.*

- Poiché nella maggior parte dei casi il makespan è proprio pari al maggiore dei carichi di lavoro, è opportuno esaminare quando è strettamente più grande.
- È possibile mostrare che esiste almeno una schedula ottima senza ritardo.
- Pertanto, consideriamo solo le schedule *senza ritardo* ossia senza idle time non necessari.  
In tali schedule, se c'è un job in attesa di essere eseguito su una macchina e questa si libera non è consentito che essa resti inoperosa.

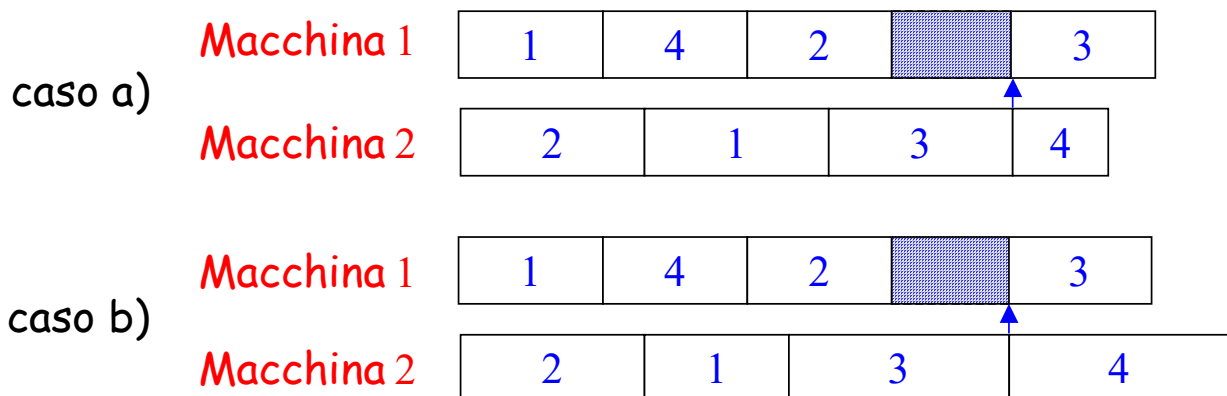
## Modelli di shop scheduling

### 2. Il modello $O2||C_{\max}$

(continua)

- Pertanto, nelle *schedule senza ritardo* un *idle time* si può verificare *se e solo se* un solo job deve essere ancora processato su una macchina e quando questa si rende libera quest'ultimo job si trova ancora in fase di esecuzione sull'altra macchina.
- Inoltre, al più un solo periodo di *idle time* si può verificare e al più su una sola macchina.

### Esempio



- **Caso a).** L'*idle time* provoca un aumento non-necessario del makespan che risulta quindi strettamente maggiore di  $\gamma$  perché il job 3 è l'ultimo job ad essere completato.
- **Caso b).** L'*idle time* non provoca ciò perché l'ultimo job sulla macchina 1 non è l'ultimo ad essere completato (job 4). Il makespan è pari a  $\gamma$ , cioè al maggiore carico di lavoro delle due macchine.

# Modelli di shop scheduling

## 2. Il modello $O2||C_{\max}$

(continua)

- Regola di processamento:** quando una macchina è libera, scegli il job in attesa con il **più grande tempo di processamento sull'altra macchina**. Questa regola è detta **Longest Alternate Processing Time (LAPT)**.  
 Al tempo 0 quando entrambe le macchine sono libere può capitare che lo stesso job può essere processato per primo su entrambe le macchine e la scelta può essere fatta indifferentemente su una delle due macchine.
- Conseguenza:** quando una macchina si è liberata i **job che hanno già completato il loro processamento sull'altra macchina hanno la priorità più bassa (ossia zero) sulla macchina appena liberata**. Non c'è quindi differenza di priorità tra job che sono stati già processati su una certa macchina e aspettano per il processamento sull'altra.

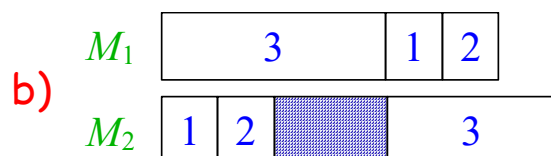
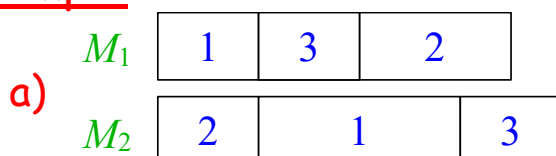
### Teorema

La regola **LAPT** dà una **schedula ottima** per  $O2||C_{\max}$  con

$$C_{\max}^* = \max \left( \max_{j \in \{1, \dots, n\}} (p_{1j} + p_{2j}), \sum_{j=1}^n p_{1j}, \sum_{j=1}^n p_{2j} \right)$$

Il teorema assicura il non verificarsi di situazioni tipo il caso a) precedente. In particolare,  $C_{\max}^* > \gamma$  solo se esiste un job il cui tempo totale è maggiore del massimo carico di lavoro delle due macchine.

### Esempio



# Modelli di shop scheduling

## 3. Il modello $O3||C_{\max}$

### Teorema

Il problema  $O3||C_{\max}$  è *NP-hard*

### Dimostrazione

Attraverso riduzione dal problema *PARTITION*.

Poiché il problema *PARTITION* è *NP-completo in senso ordinario* (esiste algoritmo esatto pseudopolinomiale) il problema di scheduling  $O3||C_{\max}$  è NP-hard in senso ordinario.

N.B.: Si veda l'Appendice per i dettagli della riduzione.

- Definizione del problema *PARTITION*

Dato un insieme  $S$  di  $z$  interi positivi  $a_1, a_2, \dots, a_z$  e un intero  $B$  tali che  $\sum_{i=1}^z a_i = 2B$ , esiste una partizione di  $S$  in due sottoinsiemi (disgiunti e ricoprenti)  $S_1, S_2$  tali che  $\sum_{a_i \in S_j} a_i = B$ , per  $j = 1, 2$  ?

Dal teorema segue che:

### Corollario

Il problema  $Om||C_{\max}$ , con  $m \geq 3$  è NP-hard.

## Modelli di shop scheduling

### 4. Il modello $F2||C_{\max}$

- In questo caso si considera un *flow-shop* con  $m = 2$  *macchine in serie*. Ciascun job sarà eseguito prima sulla macchina 1 e poi sulla macchina 2.
- Siano  $n$  i job da schedulare essendo  $p_{1j}$  il tempo di processamento del generico job  $j$  sulla macchina 1 e  $p_{2j}$  quello sulla macchina 2.
- Questo problema è stato uno dei primi ad essere studiato ed è noto nella letteratura come "*Johnson's problem*" dal nome della persona che trovò la regola di minimizzazione del makespan. (*Johnson's rule*)
- La *regola di Johnson* è la seguente:
  - (i) Partiziona l'insieme dei  $n$  job in 2 sottoinsiemi:
    - $S_1$  contenente tutti i job con  $p_{1j} < p_{2j}$
    - $S_2$  contenente tutti i job per i quali  $p_{1j} > p_{2j}$ .I job con  $p_{1j} = p_{2j}$  possono essere inseriti nell'uno o nell'altro insieme.
  - (ii) Schedula, seguendo lo stesso ordine sulle due macchine, *prima* l'insieme  $S_1$  secondo la regola *Shortest Processing Time* (*SPT*) sui tempi  $p_{1j}$  e subito *dopo*  $S_2$  secondo la regola *Longest Processing Time* (*LPT*) sui tempi  $p_{2j}$ .
    - Una schedula siffatta è denotata come *SPT(1) - LPT(2)* ed è *ottima*.



## Modelli di shop scheduling

### 4. Il modello $F2||C_{\max}$

(continua)

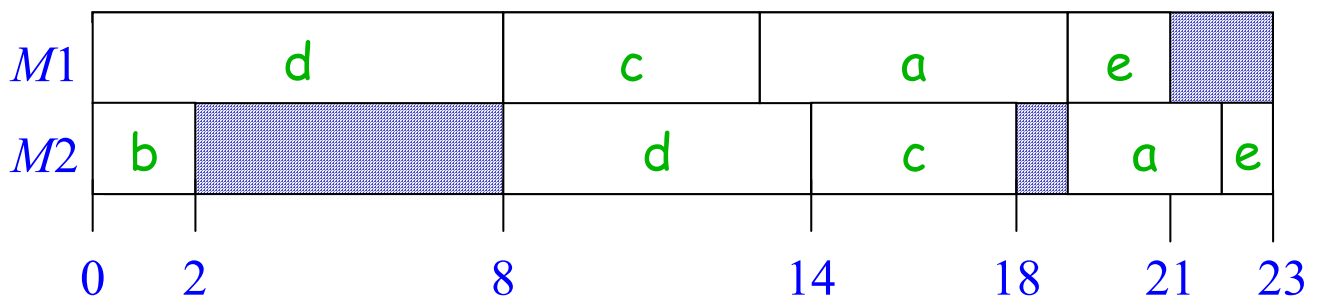
#### Esempio 1

job	a	b	c	d	e
$p_{1j}$	6	0	5	8	2
$p_{2j}$	3	2	4	6	1

$$S_1 = \{b\}$$

$$S_2 = \{a, c, d, e\}$$

La schedula  $SPT(1) - LPT(2)$  è la seguente:



- Le schedule  $SPT(1) - LPT(2)$  *non sono le uniche ottime*. La classe di tutte le schedule ottime per questo problema è difficile da caratterizzare e dipende dai dati.
- Ad esempio, se esiste un job  $k$  con un tempo  $p_{1k}$  *molto piccolo* e con un tempo  $p_{2k} \geq \sum_{j \neq k} p_{1j}$  allora il job  $k$  è il primo in una sequenza ottima ed i restanti job non influenzano il makespan.

# Modelli di shop scheduling

## 4. Il modello $F2||C_{\max}$

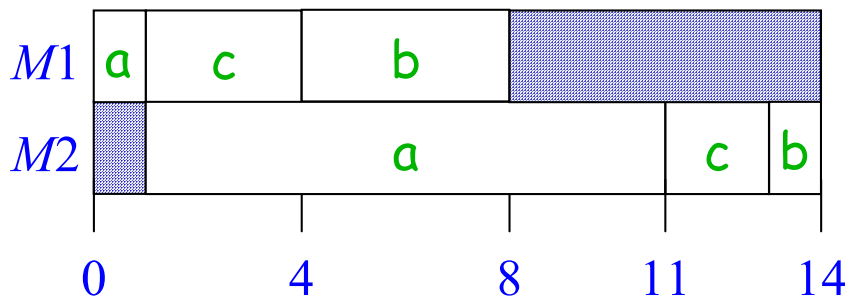
(continua)

### Esempio 2

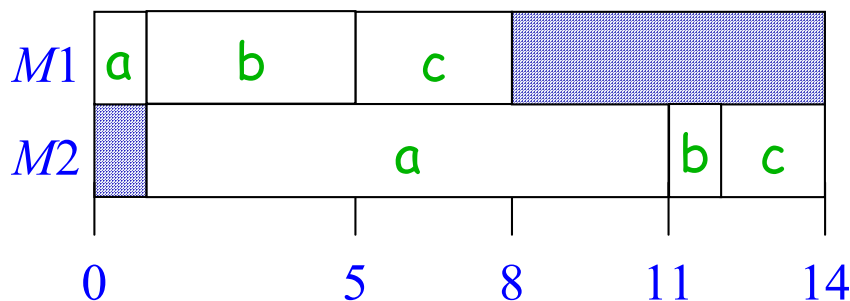
job	a	b	c
$p_{1j}$	1	4	3
$p_{2j}$	10	1	2

$$S_1 = \{a\}$$

$$S_2 = \{b, c\}$$



a)



b)

Poiché  $p_{1a}$  è il più piccolo allora il job **a** si pone in prima posizione; inoltre visto che  $p_{2a} > \sum_{j \neq a} p_{1j}$  gli altri job possono essere sequenziati in qualsiasi ordine, perché non incidono sul makespan.

# Modelli di shop scheduling

## 5. Il modello $F3||C_{\max}$

### Teorema

Il problema  $F3||C_{\max}$  è *NP-hard in senso forte*

### Dimostrazione

Attraverso riduzione dal problema *3-PARTITION*.

Poiché il problema *3-PARTITION* è *NP-completo in senso forte* il correlato problema di scheduling è NP-hard in senso forte.

N.B.: Si veda l'Appendice per i dettagli della riduzione.

- Definizione del problema *3-PARTITION*

Dato un insieme  $S$  di  $3z$  numeri interi positivi  $a_1, \dots, a_{3z}$ , e un intero positivo  $B$  tali che

$$\frac{B}{4} < a_i < \frac{B}{2}, \quad i=1, \dots, 3z \quad \text{e} \quad \sum_{i=1}^{3z} a_i = zB,$$

esiste una partizione di  $S$  in  $z$  *sottoinsiemi* (disgiunti e ricoprenti)  $S_1, \dots, S_z$  ciascuno costituito da *3interi*, tali che  $\sum_{a_i \in S_j} a_i = B, \forall j \in \{1, \dots, z\}$ ?

### Corollario

Il problema  $Fm||C_{\max}$ , con  $m \geq 3$  è NP-hard in senso forte.

### Esempio

Dato  $S = \{21, 24, 28, 26, 30, 31\}$  e  $B = 80$ . In questo caso  $20 < a_i < 40$ , per  $i = 1, 2, \dots, 6$ , e  $\sum_i a_i = 160$ , pertanto  $z = 2$ .

Esistono  $z = 2$  insiemi disgiunti e ricoprenti  $S_1 = \{21, 28, 31\}$   $S_2 = \{24, 26, 30\}$ , per i quali  $\sum_{a_i \in S_j} a_i = 80, j = 1, 2$ .

# Modelli di shop scheduling

## 6. Il modello $Fm||C_{\max}$

- Senza perdita di generalità, possiamo circoscrivere la ricerca delle soluzioni ottime tra le schedule semiattive.
- Una *schedula semiattiva* per il problema  $Fm||C_{\max}$  è definita a partire da  $m$  sequenze  $\sigma_1, \sigma_2, \dots, \sigma_m$  di visita degli  $n$  job sulle  $m$  macchine.  $\sigma_i$  è la sequenza dei job sulla macchina  $M_i$ .
- La schedula semiattiva si ottiene schedulando al più presto i job nel rispetto dei:
  - vincoli di precedenza tra le operazioni di uno stesso job
  - e dagli ulteriori vincoli di precedenza tra le operazioni che richiedono la stessa macchina, una volta assegnate le  $m$  sequenze.
- In generale la sequenza  $\sigma_{i+1}$  sulla macchina  $i+1$  è diversa dalla  $\sigma_i$  sulla macchina  $i$ , quindi le possibili schedule semiattive sono  $(n!)^m$ .

# Modelli di shop scheduling

## 6. Il modello $Fm||C_{\max}$

### Teorema

Nel problema  $Fm||C_{\max}$ , esiste sempre una soluzione ottima in cui  $\sigma_1 = \sigma_2$  e  $\sigma_{m-1} = \sigma_m$ .

### Dimostrazione

Si consideri una schedula ottima per cui  $\sigma_1 \neq \sigma_2$  e nella quale quindi ci sia un job  $j$  che precede direttamente  $k$  in  $\sigma_1$  e che viceversa  $k$  preceda (eventualmente non direttamente)  $j$  in  $\sigma_2$ . Scambiando  $j$  e  $k$  in  $\sigma_1$  non si modifica la schedula dei job su  $M_2$ . Ripetendo questo procedimento si ottiene una schedula ottima in cui le sequenze su  $M_1$  e su  $M_2$  sono uguali. Il discorso è analogo considerando le ultime due sequenze  $\sigma_{m-1}$  e  $\sigma_m$ , e modificando il sequenziamento su  $M_m$  fino a renderlo uguale a quello su  $M_{m-1}$ .

### Corollario

Per  $Fm||C_{\max}$ , con  $m \leq 3$ , esiste una schedula ottima tra le  $n!$  schedule di permutazione. Per  $m \geq 4$  la schedula ottima va cercata tra  $(n!)^{m-2}$  schedule semiattive.

- Tra le possibili soluzioni è interessante esaminare il sottoinsieme delle *schedule di permutazione*, cioè quelle associate ad uno *stesso sequenziamento dei job su tutte le macchine* ( $\sigma_{i+1} = \sigma_i$ ).
- Le schedule di permutazione sono  $n!$

## Modelli di shop scheduling

Analizziamo nel seguito alcuni modelli di *job shop*

Considereremo il caso particolare in cui non esiste nessuna coppia di operazioni di uno stesso job che richiedono la stessa macchina:  $\forall T_j^h \text{ e } T_j^k \rightarrow \mu_j^h \neq \mu_j^k$ .

Per semplicità di notazione, possiamo quindi indicare nel seguito con  $T_{ij}$  il task  $T_j^h$  che richiede la macchina  $\mu_j^h = M_i$  e con  $p_{ij}$  il suo tempo di processamento.

### 7. Il modello $J2||C_{\max}$

- In questo modello vi sono 2 macchine ed  $n$  job.
- *Alcuni job* devono essere processati *prima sulla macchina 1 e poi sulla macchina 2*. I *restanti job* ovviamente devono essere processati *prima sulla macchina 2 e poi sulla macchina 1*.
- I tempi di processamento del generico job  $j$  sono  $p_{1j}$  e  $p_{2j}$  rispettivamente per la macchina 1 e per la macchina 2. L'obiettivo è minimizzare il makespan.
- Il problema è trattabile.

# Modelli di shop scheduling

## 7. Il modello $J2||C_{\max}$

(continua)

### Algoritmo di soluzione

Questo problema può essere ricondotto al problema  $F2||C_{\max}$  già visto come segue. Siano

$J_{1,2}$  Insieme di job che devono essere processati prima sulla macchina 1

$J_{2,1}$  Insieme di job che devono essere processati prima sulla macchina 2

#### I) Conseguenza:

Quando un job di  $J_{1,2}$  ha completato il processamento sulla macchina 1 il posticipare il suo processamento sulla macchina 2 non ha alcun effetto sul makespan fintanto che questa resta occupata. Lo stesso vale dualmente per un job dell'insieme  $J_{2,1}$ .

#### II) Conseguenza:

I job di  $J_{1,2}$  hanno una più alta priorità sulla macchina 1 di qualsiasi job di  $J_{2,1}$  mentre i job di  $J_{2,1}$  hanno una più alta priorità sulla macchina 2 di qualsiasi job di  $J_{1,2}$ .

## Modelli di shop scheduling

### 7. Il modello $J2||C_{\max}$

(continua)

Con riferimento alle precedenti considerazioni la schedula ottima è simile a quanto ottenuto con la schedula *LAPT* per il problema  $O2||C_{\max}$ : *i job già processati su una macchina hanno la più bassa priorità sull'altra macchina.*

Resta quindi da *definire* la *sequenza*  $\sigma_1$  dei job di  $J_{1,2}$  sulla macchina 1 e la *sequenza*  $\sigma_2$  dei job  $J_{2,1}$  sulla macchina 2.

Queste due *sequenze* possono essere *determinate* considerando il *sequenziamento* di  $J_{1,2}$  e  $J_{2,1}$ , ognuno come un *problema*  $F2||C_{\max}$  in cui rispettivamente viene utilizzata prima la macchina 1 e poi la macchina 2 ovvero prima la macchina 2 e poi la macchina 1.

Questo porta a sequenze *SPT*(1) - *LPT*(2) per ognuno dei due insiemi di job con priorità tra gli insiemi definite in precedenza.



## Modelli di shop scheduling

### 7. Il modello $J2||C_{\max}$

(continua)

#### Esempio

job	a	b	c	d	e
$p_{1j}$	6	1	5	8	2
$p_{2j}$	3	2	6	6	1

Siano gli insiemi  $J_{1,2} = \{a, c\}$ ;  $J_{2,1} = \{b, d, e\}$

I due problemi  $F2||C_{\max}$  sono rispettivamente definiti sugli insiemi  $J_{1,2}$  e  $J_{2,1}$ ; per il primo (i) la *prima macchina* è la 1, e per il secondo (ii) la *prima macchina* è la 2.

Pertanto definiti

(i)  $S_1(J_{1,2}) = \{c\}$ ;  $S_2(J_{1,2}) = \{a\}$

(ii)  $S_1(J_{2,1}) = \{d, e\}$ ;  $S_2(J_{2,1}) = \{b\}$

le relative sequenze  $SPT(1)$ - $LPT(2)$  sono:

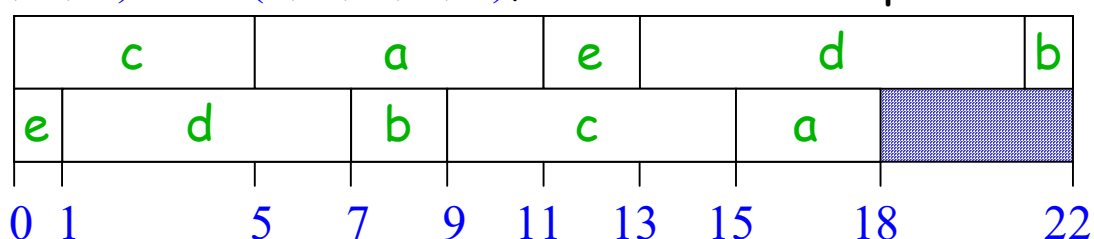
(i)  $\sigma_1 = (c, a)$ ; (ii)  $\sigma_2 = (e, d, b)$

Le sequenze complessive sulle due macchine sono quindi

$$\bar{\sigma}_1 = (c, a, \sigma(J_{2,1})); \quad \bar{\sigma}_2 = (e, d, b, \sigma(J_{1,2})),$$

con  $\sigma(J_{1,2})$  e  $\sigma(J_{2,1})$  sequenze qualsiasi di  $J_{1,2}$  e  $J_{2,1}$  (rispettiv.), che non inducano idle time non necessari.

Sia, ad esempio,  $\sigma(J_{1,2}) = \sigma_1$  e  $\sigma(J_{2,1}) = \sigma_2$ , e quindi  $\bar{\sigma}_1 = (c, a, e, d, b)$   $\bar{\sigma}_2 = (e, d, b, c, a)$ , la schedula complessiva è:



# Modelli di shop scheduling

## 8. Il modello $J3||C_{\max}$

### Teorema

Il problema  $J3||C_{\max}$  è *NP-hard in senso forte*

### Dimostrazione

Il teorema si dimostra semplicemente notando che  $J3||C_{\max}$  è una generalizzazione di  $F3||C_{\max}$ .

Sapendo quindi che  $F3||C_{\max}$  è NP-hard in senso forte, ciò implica che anche  $J3||C_{\max}$  è NP-hard in senso forte.

Dal teorema precedente segue che:

### Corollario

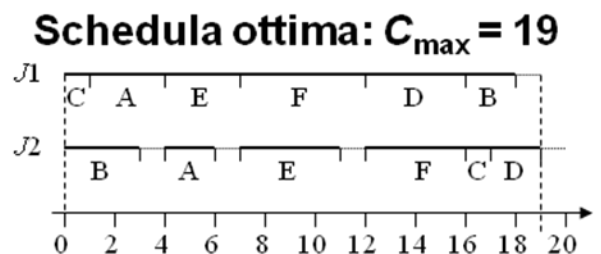
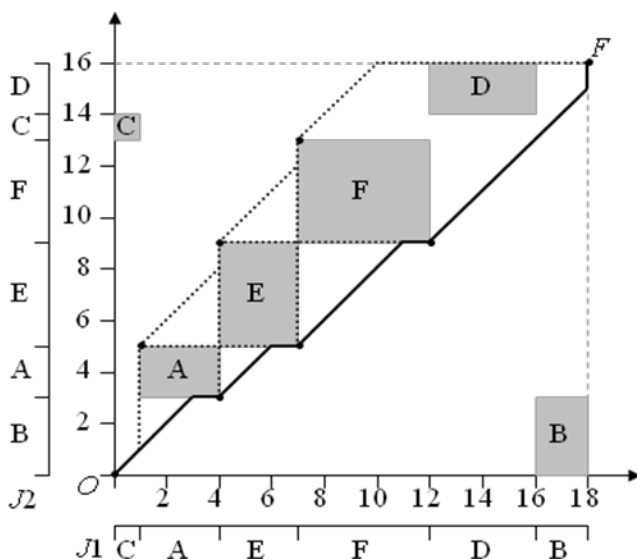
Il problema  $Jm||C_{\max}$ , con  $m \geq 3$  è NP-hard in senso forte.

## Modelli di shop scheduling

### 9. Il modello $J|n = 2|C_{\max}$

- Un caso facilmente risolvibile del job-shop con  $m > 2$  macchine è quello in cui il numero dei job  $n = 2$ .
- Il problema può essere formulato come problema di cammino minimo nel piano con ostacoli rappresentati da oggetti rettangolari:
  - Gli assi  $x$  e  $y$  del piano rappresentano due assi temporali.
  - Le durate delle operazioni del job 1 (job 2) sono rappresentate da intervalli sull'asse  $x$  (asse  $y$ ) che sono arrangiate secondo l'ordine di processamento delle operazioni del job
  - Gli intervalli sono etichettati con la macchina richiesta dalla operazione relativa all'intervallo temporale
  - $F$  è il punto sul piano di coordinate pari alle durate dei job

Esempio: 6 macchine (A, B, C, D, E, F); job 1 ( $J_1$ ) è composto da 6 operazioni con rotta sulle macchine (C, A, E, F, D, B) e durate (1, 3, 3, 5, 4, 2) e job 2 ( $J_2$ ) è composto da 6 operazioni con rotta sulle macchine (B, A, E, F, C, D) e durate (3, 2, 4, 4, 1, 2).



## Modelli di shop scheduling

### 9. Il modello $J|n = 2|C_{\max}$

(continua)

- Una schedula ammissibile corrisponde ad un cammino dall'origine  $O$  al punto  $F$ . Questo cammino ha le seguenti proprietà:
  1. Il cammino consiste di segmenti che sono o paralleli ad uno dei due assi cartesiani (corrispondenti alla esecuzione di un solo job) o sono obliqui a  $45^\circ$  (corrispondenti alle esecuzioni simultanee dei due job);
  2. Il cammino deve evitare gli ostacoli rettangolari, corrispondenti all'impiego simultaneo (non ammissibile) della stessa macchina, in quanto due operazioni non possono simultaneamente essere eseguite dalla stessa macchina e l'interruzione dell'esecuzione di una operazione non è ammessa;
  3. La lunghezza del cammino, cioè la lunghezza della schedula (tempo richiesto per eseguire i due job), è pari alla somma delle lunghezze dei segmenti orizzontali, dei segmenti verticali, e dei segmenti obliqui diviso per radice di 2.
- Il problema consiste nell'identificare il cammino da  $O$  a  $F$  che massimizza la lunghezza totale dei segmenti obliqui.

## Modelli di shop scheduling

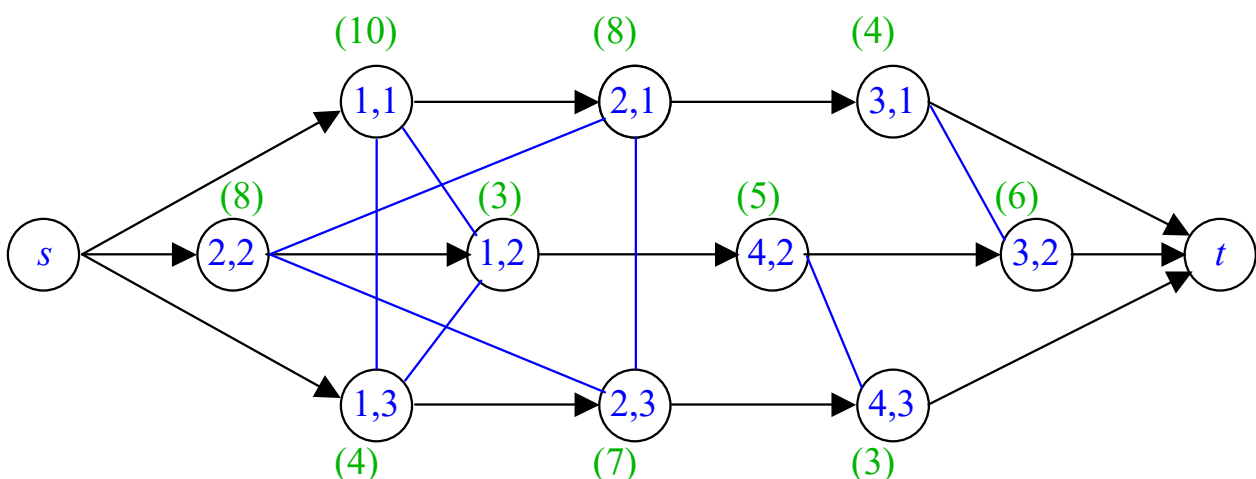
### 10. Il modello $J_m || C_{\max}$

#### 10.1 Rappresentazione su grafo disgiuntivo

- Il problema  $J_m || C_{\max}$  può essere rappresentato tramite **grafo disgiuntivo** (pesato)  $G = (V, A \cup E)$ , con:
  - $V$ , corrispondente all'**insieme dei task** unione  $\{s, t\}$
  - $A$ , insieme di **archi (orientati) congiuntivi** (rappresentanti relazioni di precedenza diretta tra i task)
  - $E$ , insieme di **archi (non-orientati) disgiuntivi** (tra coppie di task che utilizzano la stessa macchina)
  - Ad ogni vertice è associato un peso pari al tempo di processamento  $p_{ij}$  del task  $T_{ij}$  rappresentato. I vertici  $s$  e  $t$  hanno peso 0.

#### Esempio

Job	sequenza sulle macchine	tempi di processamento
1	1, 2, 3	$p_{11}=10, p_{21}=8, p_{31}=4$
2	2, 1, 4, 3	$p_{22}=8, p_{12}=3, p_{42}=5, p_{32}=6$
3	1, 2, 4	$p_{13}=4, p_{23}=7, p_{43}=3$



# Modelli di shop scheduling

## 10. Il modello $Jm||C_{\max}$

### 10.1 Rappresentazione su grafo disgiuntivo (continua)

- Una **soluzione ammissibile** corrisponde ad un **orientamento aciclico** di  $G = (V, A \cup E)$ , ottenuto orientando gli archi in  $E$ .
- Il **makespan**  $C_{\max}$  della schedula associata all'orientamento aciclico di  $G$  è **pari** alla **lunghezza**  $l_{\pi}$  del **cammino (critico) di lunghezza massima**  $\pi$  da  $s$  a  $t$ .
- Il **problema si riduce** quindi a **determinare un orientamento aciclico che minimizza la lunghezza del cammino di lunghezza massima**.

### 10.2 Lower Bound

- **1° Ipotesi: Rilassare completamente i vincoli sulle risorse**, supponendo che **tutte le macchine possono eseguire più di un task alla volta**.  
LB1: lunghezza del cammino critico del sottografo  $G'$  del grafo  $G$ , depurato degli archi non orientati.
- **2° Ipotesi: Rilassare quasi completamente i vincoli sulle risorse**, supponendo che **tutte le macchine tranne una possono eseguire più di un task alla volta**.  
LB2 = LB1 +  $\max_i(\delta_i)$ , dove  $\delta_i$  è il minimo tempo addizionale necessario per schedulare (in sequenza) i task sulla macchina  $i$ .

## Modelli di shop scheduling

### 10. Il modello $J_m || C_{\max}$

#### 10.2 Lower Bound

(continua)

- Calcolo di  $\delta_i$ :  
Per ogni task  $T_{ij}$ , siano  $r_{ij}$  il suo *earliest start time* e  $d_{ij}$  il suo *latest finish time* nell'ipotesi 1°.
- *Calcolo di  $r_{ij}$  e  $d_{ij}$ :*  
Supponiamo di aver rinumerato i  $q$  task (nodi)  $T_{(k)}$  secondo ordinamento *topologico*:  $k < l$  solo se  $T_{(l)} \not\prec T_{(k)}$   
Sia  $T_{(0)}$  il task fittizio iniziale, corrispondente al nodo sorgente  $s \equiv T_{(0)}$ , e sia  $T_{(q+1)}$  il task fittizio finale, corrispondente al nodo pozzo  $t \equiv T_{(q+1)}$ .  
Siano:  
  - $P_{(k)}$ : insieme *predecessori diretti* di  $T_{(k)}$
  - $S_{(k)}$ : insieme *successori diretti* di  $T_{(k)}$
- Gli istanti di tempo  $r_{(k)}$  e  $d_{(k)}$  di  $T_{(k)}$  si calcolano con le seguenti procedure *forward* e *backward* che *visitano in larghezza  $G'$*  rispettivamente *in avanti* da  $s$  a  $t$  e *all'indietro* da  $t$  a  $s$ .

<i>procedura forward</i>	<i>procedura backward</i>
$r_{(0)} := 0;$ for $k := 1$ to $q + 1$ do $r_{(k)} := \max[r_{(j)} + p_{(j)} \mid T_{(j)} \in P_{(k)}]$	$d_{(q+1)} := r_{(q+1)};$ for $k := q$ downto $0$ do $d_{(k)} := \min[d_{(l)} - p_{(l)} \mid T_{(l)} \in S_{(k)}]$

# Modelli di shop scheduling

## 10. Il modello $J_m || C_{\max}$

### 10.2 Lower Bound

(continua)

Il tempo addizionale richiesto dal task  $T_{ij}$  è pari alla sua **tardiness** rispetto a  $d_{ij}$ , mentre è ovvio che il task non può iniziare prima di  $r_{ij}$ .

Quindi il **tempo addizionale** necessario per sequenziare i task  $T_{ij}$  richiedenti la macchina  $i$ , è pari alla **massima tardiness** tra tali task.

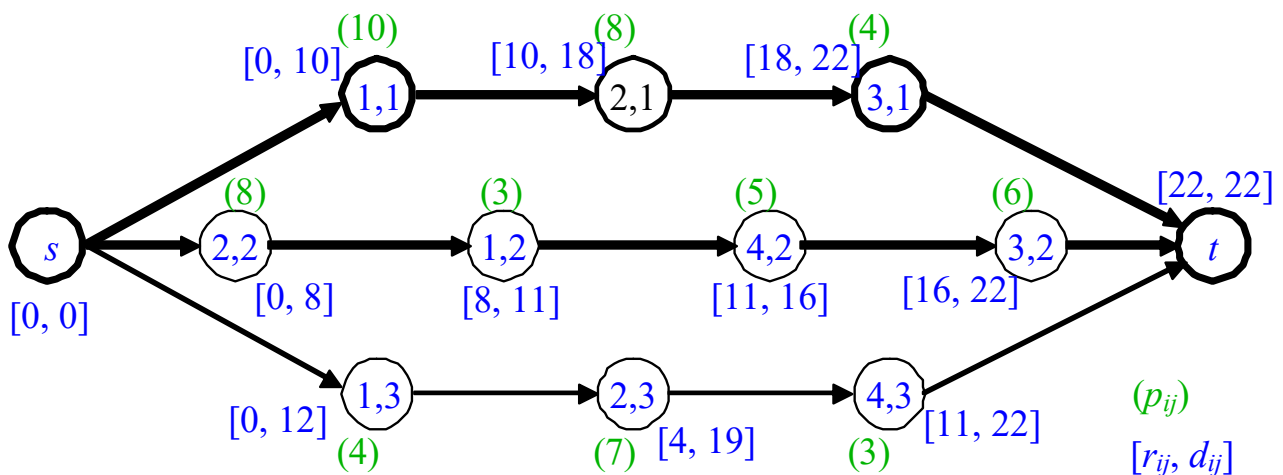
Determinare il **minimo tempo addizionale**  $\delta_i$  equivale a risolvere il problema  $1|r_j|T_{\max}$  (ovvero  $1|r_j|L_{\max}$ ) sulla macchina  $i$  e sui task  $T_{ij}$  che la richiedono, con **release date**  $r_{ij}$  e **due date**  $d_{ij}$ . Quindi,  $\delta_i = T^*_{\max} = \max(0, L^*_{\max})$ .

N.B.:  $1|r_j|L_{\max}$  è NP-hard in s. f., ma si può risolvere in tempi ragionevoli con B&B.

### Esempio

Riconsideriamo l'esempio precedente.

$LB1 = 22$  è pari alla lunghezza del cammino critico del grafo disgiuntivo depurato degli archi non orientati





# Modelli di shop scheduling

## 10. Il modello $Jm||C_{\max}$

### 10.2 Lower Bound

(continua)

Calcoliamo  $LB2 = LB1 + \max_i (\delta_i)$ .

- Macchina 1  $\Rightarrow \delta_1$

Risolviamo la seguente istanza di  $1|r_j|L_{\max}$

Job	1	2	3
$p_j$	10	3	4
$r_j$	0	8	0
$d_j$	10	11	12

La sequenza ottima è (1, 2, 3) con  $L_{\max}^* = 5$ .  $\Rightarrow \delta_1 = 5$

- Macchina 2  $\Rightarrow \delta_2$

Risolviamo la seguente istanza di  $1|r_j|L_{\max}$

Job	1	2	3
$p_j$	8	8	7
$r_j$	10	0	4
$d_j$	18	8	19

La sequenza ottima è (2, 3, 1) con  $L_{\max}^* = 5$ .  $\Rightarrow \delta_2 = 5$

- Macchina 3  $\Rightarrow \delta_3$

Risolviamo la seguente istanza di  $1|r_j|L_{\max}$

Job	1	2
$p_j$	4	6
$r_j$	18	16
$d_j$	22	22

La sequenza ottima è (2, 1) con  $L_{\max}^* = 4$ .  $\Rightarrow \delta_3 = 4$

# Modelli di shop scheduling

## 10. Il modello $J_m || C_{\max}$

### 10.2 Lower Bound

(continua)

- Macchina 4  $\Rightarrow \delta_4$

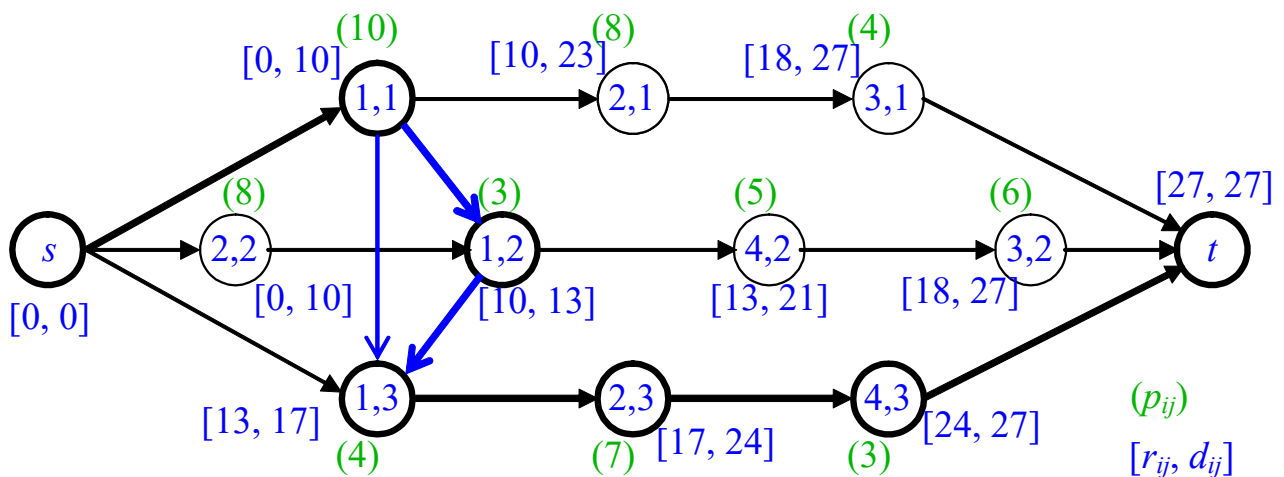
Risolvi la seguente istanza di  $1|r_j|L_{\max}$

Job	2	3
$p_j$	5	3
$r_j$	11	11
$d_j$	16	22

La sequenza ottima è (2, 3) con  $L_{\max}^* = 0. \Rightarrow \delta_4 = 0$

Pertanto,  $\max_i(\delta_i) = 5$  e quindi  $LB2 = 22 + 5 = 27$ .

LB2 è pari alla lunghezza del cammino critico del grafo orientato aciclico ottenuto da quello disgiuntivo  $G$  depurato degli archi disgiuntivi (non orientati), ad eccezione di quelli definiti tra coppie di nodi relativi a task che richiedono la **macchina bottleneck**  $i^* = \operatorname{argmax}_i \{\delta_i\}$  e che sono orientati secondo la sequenza ottima del problema di  $1|r_j|L_{\max}$  per il calcolo di  $\delta_{i^*}$ . Nel nostro caso  $i^* = 1$ , con sequenza (1, 2, 3) su di essa.



## Modelli di shop scheduling

### 10. Il modello $J_m || C_{\max}$

#### 10.3 Euristica Shifting Bottleneck

- È una delle euristiche di maggior successo.
- È una *procedura iterativa* che consta di  $m$  iterazioni.
- *Ad ogni iterazione viene individuata la macchina che costituisce il bottleneck del sistema, e determinata la miglior sequenza dei task da processare su di essa.* Questo comporta la definizione dell'orientamento degli archi disgiuntivi tra coppie di nodi che rappresentano tali task.
- Indichiamo con  $M$  l'insieme delle  $m$  macchine dello shop.
- Ad una generica iterazione, indichiamo con  $M_0$  il sottoinsieme delle macchine per le quali è stata specificata la sequenza dei job.
- Pertanto nella generica iterazione il primo passo da fare è *individuare la macchina bottleneck* in  $MM_0$ .
- Per determinare le *macchina bottleneck*, si individua quale macchina in  $MM_0$  è *causa del maggior accumulo di ritardo* a causa del sequenziamento dei task su di essa.

# Modelli di shop scheduling

## 10. Il modello $Jm||C_{\max}$

### 10.3 Euristica Shifting Bottleneck (continua)

- Sia  $G(M_0)$  il grafo disgiuntivo orientato (aciclico) con gli archi disgiuntivi orientati per le macchine schedulate e depurato di quelli non ancora orientati.
- La **lunghezza del cammino critico** di  $G(M_0)$  è pertanto il **makespan**  $C_{\max}(M_0)$  della schedula ottima supponendo di rilassare i vincoli sulle macchine  $M \setminus M_0$  e avendo sequenziato i task sulle macchine di  $M_0$  secondo quanto fatto nelle iterazioni precedenti
- la **macchina bottleneck** è quella  $k$  per cui  $C_{\max}(M_0 \cup \{k\}) = C_{\max}(M_0) + \delta_k$  è **massimo**, dove  $\delta_i$  è il minimo tempo addizionale necessario per sequenziare i task sulla macchina  $i \in M \setminus M_0$ .
- Calcolo di  $\delta_i$ :  
Per ogni task  $T_{ij}$ , siano  $r_{ij}$  il suo **earliest start time** e  $d_{ij}$  il suo **latest finish time** calcolato su  $G(M_0)$  noto  $C_{\max}(M_0)$ .  
Determinare  $\delta_i$  equivale a risolvere un'istanza del problema  $1|r_j|L_{\max}$  sui task  $T_{ij}$  che richiedono la macchina  $i$ , con **release date**  $r_{ij}$  e **due date**  $d_{ij}$ . Quindi,  $\delta_i = T_{\max}^* = \max(0, L_{\max}^*)$ .  
N.B.:  $1|r_j|L_{\max}$  è NP-hard in senso forte, ma può essere risolto in tempi ragionevoli con B&B.

## Modelli di shop scheduling

### 10. Il modello $Jm||C_{\max}$

#### 10.3 Euristiche Shifting Bottleneck (continua)

- Determinata la **macchina bottleneck**  $k$ , i task vengono schedulati su di essa secondo la sequenza ottima ottenuta risolvendo il problema ausiliario  $1|r_j|L_{\max}$ .
- Prima di terminare la generica iterazione si riottimizza localmente la soluzione parziale ottenuta sequenziando le macchine  $M_0 \cup \{k\}$ .  
Per ogni  $h$  di  $M_0$  si risequenziano (se conveniente) i task sulla macchina  $h$  in base alla sequenza ottima per il problema  $1|r_j|L_{\max}$  definito sui task da eseguire su  $h$  in base a  $G(\{k\} \cup M_0 \setminus \{h\})$  e noto  $C_{\max}(\{k\} \cup M_0 \setminus \{h\})$ .
- La struttura di questa euristica mostra la **relazione tra il concetto di bottleneck e i concetti di cammino critico e tardiness massima**.
- Un **cammino critico** indica dove e quando si verifica una situazione di bottleneck, la **tardiness massima** indica quale sarebbe l'aumento del makespan dovuto all'inserimento della macchina bottleneck tra le macchine schedulate.

## Modelli di shop scheduling

### 10. Il modello $J_m || C_{\max}$ :

#### 10.3 Euristiche Shifting Bottleneck

(continua)

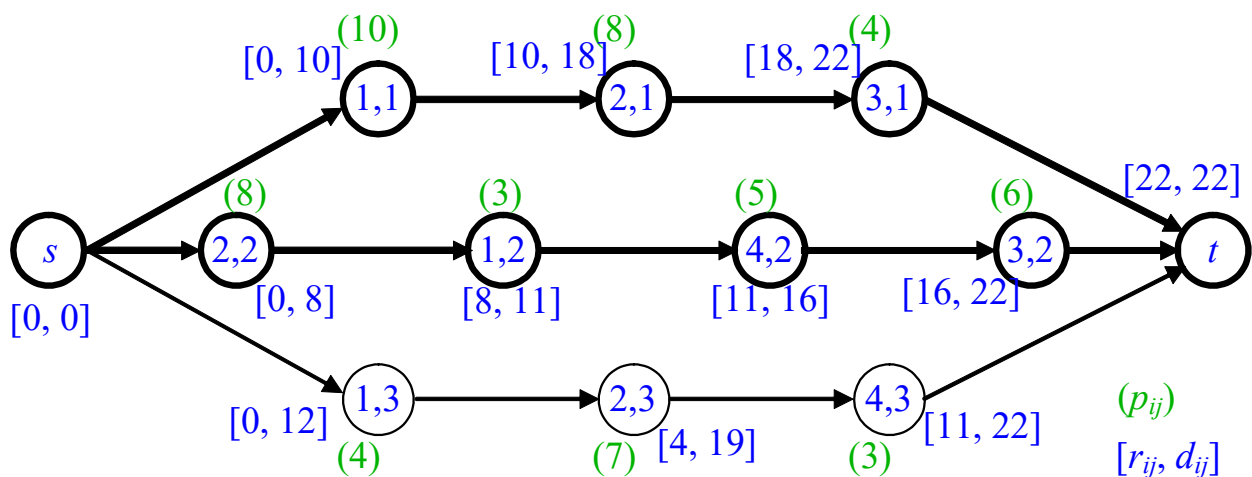
#### Esempio

Riconsideriamo l'esempio precedente.

Applichiamo l'euristica *shifting bottleneck*

**Inizializzazione:**  $M_0$  è vuoto.

**Iter. 1:**  $C_{\max}(M_0) = 22$  pari alla lunghezza del cammino critico di  $G(M_0)$ .



Determiniamo la macchina da schedulare

- Macchina 1  $\Rightarrow \delta_1$

RisolviAMO la seguente istanza di  $1|r_j|L_{\max}$

job	1	2	3
$p_j$	10	3	4
$r_j$	0	8	0
$d_j$	10	11	12

La sequenza ottima è  $(1, 2, 3)$  con  $L_{\max}^* = 5 \Rightarrow \delta_1 = 5$

## Modelli di shop scheduling

### 10. Il modello $J_m||C_{\max}$

#### 10.3 Euristica Shifting Bottleneck

(continua)

- Macchina 2  $\Rightarrow \delta_2$

Risolvi la seguente istanza di  $1|r_j|L_{\max}$

job	1	2	3
$p_j$	8	8	7
$r_j$	10	0	4
$d_j$	18	8	19

La sequenza ottima è (2, 3, 1) con  $L_{\max}^* = 5. \Rightarrow \delta_2 = 5$

- Macchina 3  $\Rightarrow \delta_3$

Risolvi la seguente istanza di  $1|r_j|L_{\max}$

job	1	2
$p_j$	4	6
$r_j$	18	16
$d_j$	22	22

La sequenza ottima è (2, 1) con  $L_{\max}^* = 4. \Rightarrow \delta_3 = 4$

- Macchina 4  $\Rightarrow \delta_4$

Risolvi la seguente istanza di  $1|r_j|L_{\max}$

job	2	3
$p_j$	5	3
$r_j$	11	11
$d_j$	16	22

La sequenza ottima è (2, 3) con  $L_{\max}^* = 0. \Rightarrow \delta_4 = 0$

# Modelli di shop scheduling

## 10. Il modello $J_m || C_{\max}$

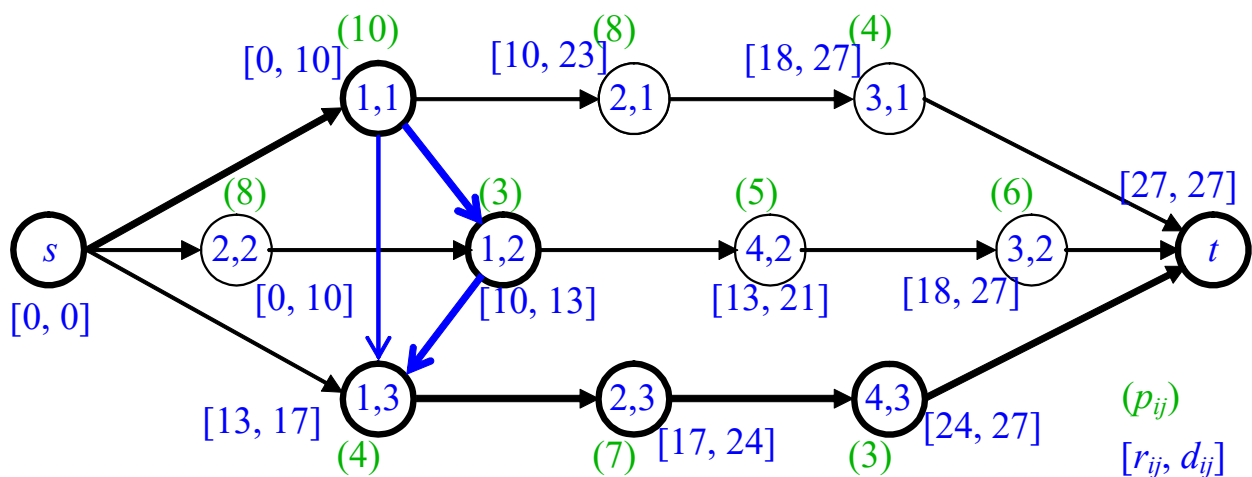
### 10.3 Euristica Shifting Bottleneck (continua)

Le macchine candidate sono 1 e 2 ( $L_{\max} = 5$ )

Scegliamo la 1.  $M_0 = \{1\}$ .

Sequenziamo i job sulla 1 secondo (1, 2, 3)

**Iter. 2:**  $C_{\max}(M_0) = 27$  pari alla lunghezza del cammino critico di  $G(M_0)$ .



Determiniamo la macchina da schedulare

- Macchina 2  $\Rightarrow \delta_2$

RisolviAMO la seguente istanza di  $1|r_j|L_{\max}$

job	1	2	3
$p_j$	8	8	7
$r_j$	10	0	17
$d_j$	23	10	24

La sequenza ottima è (2, 1, 3) con  $L_{\max}^* = 1 \Rightarrow \delta_2 = 1$



## Modelli di shop scheduling

### 10. Il modello $Jm||C_{\max}$

#### 10.3 Euristica Shifting Bottleneck

(continua)

- Macchina 3  $\Rightarrow \delta_3$

Risolviamo la seguente istanza di  $1|r_j|L_{\max}$

job	1	2
$p_j$	4	6
$r_j$	18	18
$d_j$	27	27

La sequenza ottima è (1, 2) con  $L_{\max}^* = 1. \Rightarrow \delta_3 = 1$

- Macchina 4  $\Rightarrow \delta_4$

Risolviamo la seguente istanza di  $1|r_j|L_{\max}$

job	2	3
$p_j$	5	3
$r_j$	13	24
$d_j$	21	27

La sequenza ottima è (2, 3) con  $L_{\max}^* = 0. \Rightarrow \delta_4 = 0$

Le macchine candidate sono 2 e 3 ( $\delta_{\max} = \delta_2 = \delta_3$ ).

Scegliamo la 2.  $M_0 = \{1, 2\}$ .

Sequenziamo i job sulla 2 secondo (2, 1, 3)

Cercando di risequenziare la macchina 1 non si ottiene alcun miglioramento.

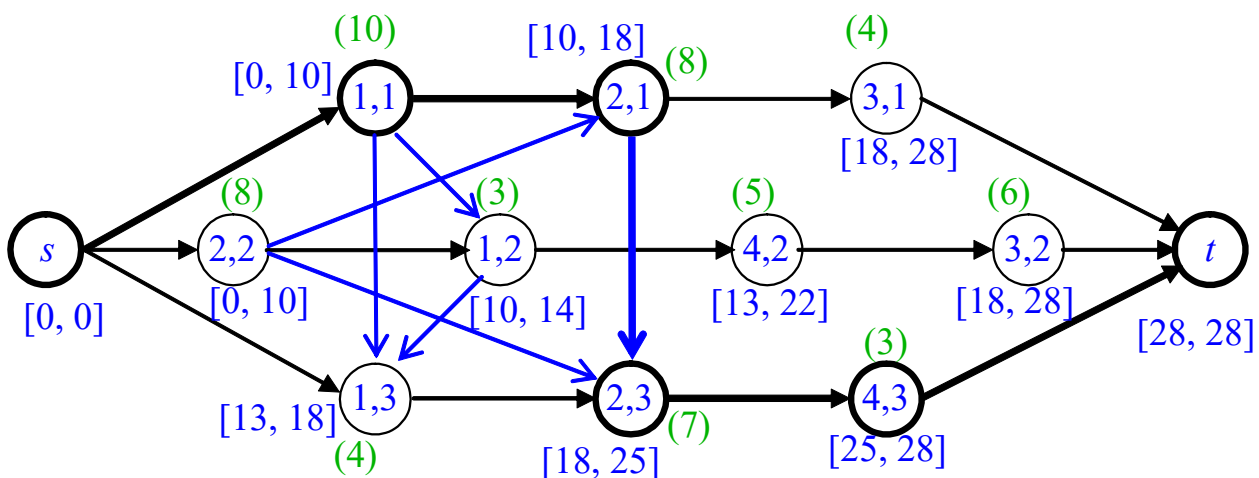
## Modelli di shop scheduling

### 10. Il modello $J_m || C_{\max}$

#### 10.3 Euristiche Shifting Bottleneck (continua)

(continua)

**Iter. 3:**  $C_{\max}(M_0) = 28$  pari alla lunghezza del cammino critico di  $G(M_0)$ .



Determiniamo la macchina da schedulare

Sia per la macchina 3 che per la 4 risolvendo  $1|r_j|L_{\max}$  si ha  $L_{\max}^* = 0$ , con le sequenze di job (2, 1) sulla macchina 3 e (2, 3) sulla macchina 4.

Scegliamo la macchina 3.  $M_0 = \{1, 2, 3\}$ .

Sequenziamo i job sulla 3 secondo (2, 1)

Cercando di risequenziare le macchine 1 e 2 non si ottiene alcun miglioramento.

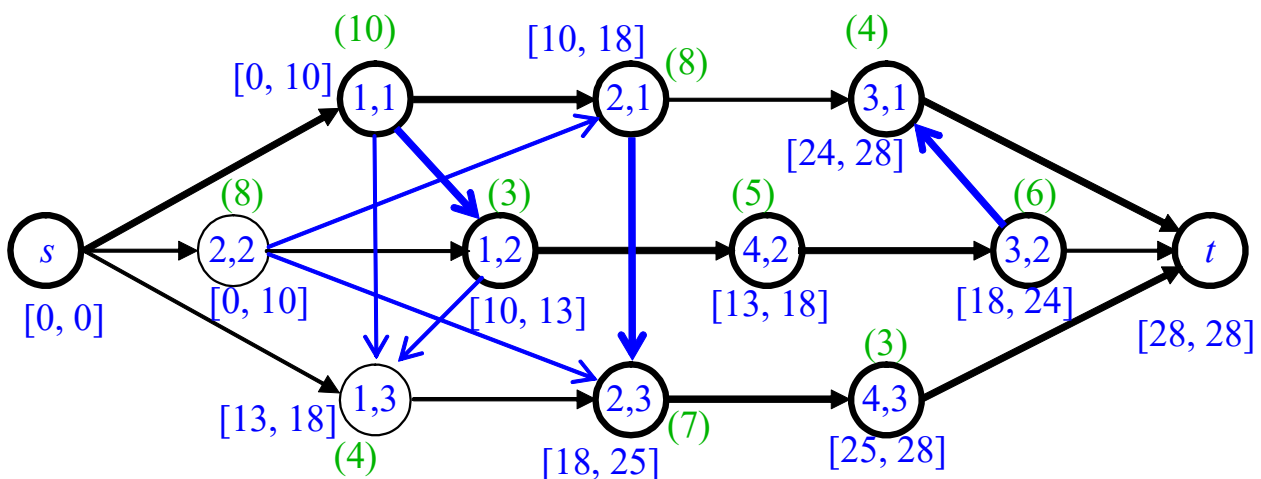
## Modelli di shop scheduling

### 10. Il modello $J_m || C_{\max}$

#### 10.3 Euristiche Shifting Bottleneck (continua)

(continua)

**Iter. 4:**  $C_{\max}(M_0) = 28$  pari alla lunghezza del cammino critico di  $G(M_0)$ .



È rimasta da schedulare solo la macchina 4.

- Macchina 4  $\Rightarrow \delta_4$

Risolvi la seguente istanza di  $1|r_j|L_{\max}$

job	2	3
$p_j$	5	3
$r_j$	13	25
$d_j$	18	28

La sequenza ottima è (2, 3) con  $L_{\max}^* = 0. \Rightarrow \delta_4 = 0$

# Modelli di shop scheduling

## 10. Il modello $J_m || C_{\max}$

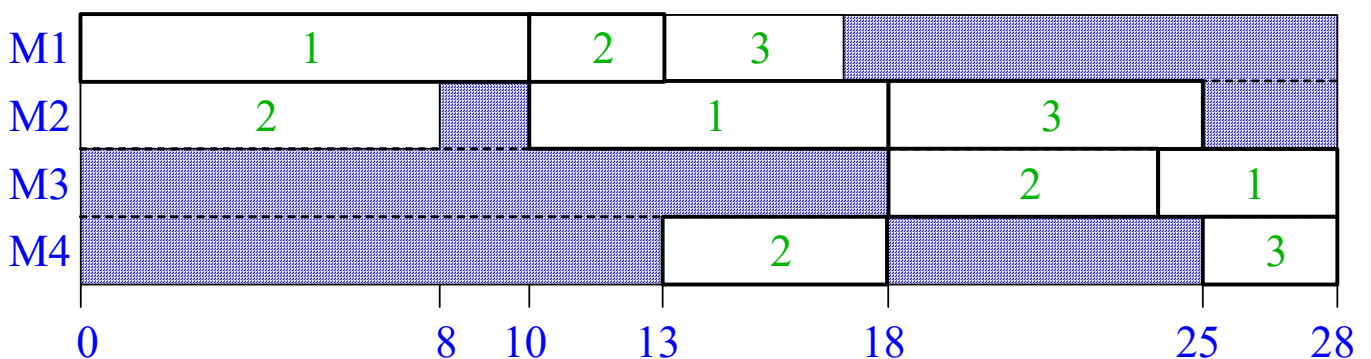
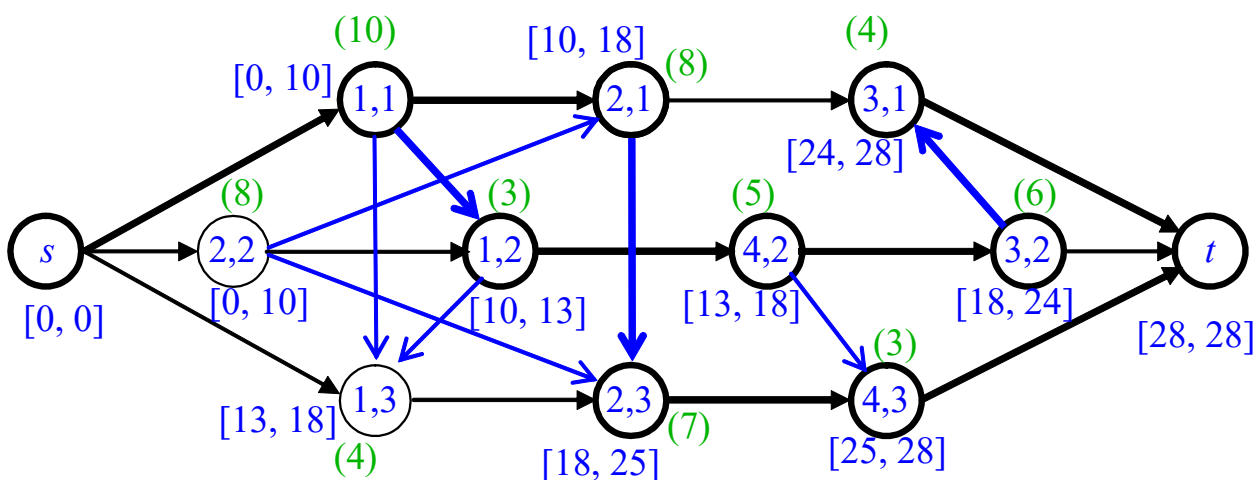
### 10.3 Euristiche Shifting Bottleneck

(continua)

L'euristica *shifting bottleneck* ha prodotto le seguenti sequenze di job sulle macchine

macchina	sequenza di job
1	(1, 2, 3)
2	(2, 1, 3)
3	(2, 1)
4	(2, 3)

Alla soluzione corrispondono i seguenti orientamento aciclico del grafo disgiuntivo e schedula di lunghezza 28.



La soluzione euristica nel caso specifico è anche ottima, perché di pari makespan a quella ottenuta con il B&B appreso discusso.

# Modelli di shop scheduling

## 10. Il modello $J_m||C_{\max}$

### 10.4 Algoritmo di Branch&Bound

Risolviamo il problema in modo esatto con il **B&B**

- Impiega uno *schema di branching* basato sulla *generazione (implicita)* di tutte le *schedule attive*.
- Ogni *nodo* dell'albero di ricerca definisce l'orientamento di un sottoinsieme di archi disgiuntivi, cioè una *schedule parziale (attiva)*.
- Ogni *branch* da un nodo corrisponde alla *selezione di un task*  $T_{i^*j} \in \Omega'$  (con  $\Omega' \subseteq \Omega$ , ove  $\Omega$  è l'insieme dei task non schedulati i cui predecessori sono stati schedulati) dove  $\Omega'$  è l'insieme dei task  $T_{i^*j}$  che richiedono *la macchina  $i^*$  che si libererebbe per prima* dopo aver eseguito uno dei task in  $\Omega$ , e tale che  $T_{i^*j}$  risulta pronto prima di quando questa si libererebbe.
- Ciò implica l'orientamento degli archi ( $T_{i^*j} \rightarrow T_{i^*h}$ ), per tutte le operazioni  $T_{i^*h}$  che devono ancora essere processate su  $i^*$ , e la creazione di un nuovo nodo nell'albero di ricerca, corrispondente alla *schedule parziale* ottenuta aggiungendo  $T_{i^*j}$  alla precedente.
- Per ogni nodo generato si calcola il lower bound **LB2** sul valore della migliore *schedule* che completa quella parziale. Anche se per calcolare **LB2** occorre risolvere  $m$  problemi strongly NP-hard, sperimentalmente l'uso di **LB2** aumenta l'efficienza del B&B.

# Modelli di shop scheduling

## 10. Il modello $Jm||C_{\max}$

### 10.4 Algoritmo di Branch&Bound

(continua)

### Esempio

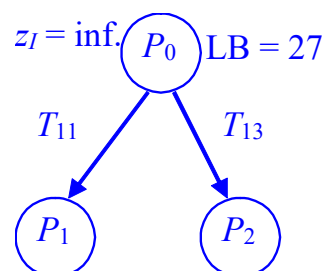
Riconsideriamo l'esempio precedente.

Per motivi didattici non calcoliamo inizialmente un UB, quindi assumiamo  $z_1 = \infty$ .

Il nodo  $P_0$  dell'albero di ricerca corrisponde alla schedula parziale vuota. Il relativo sottoproblema ha  $LB(P_0) = LB_2 = 27$ .

L'insieme  $\Omega$  dei task non schedulati i cui predecessori sono stati schedulati è  $\Omega = \{T_{11}, T_{22}, T_{13}\}$ . Essendo  $t(\Omega) = \min_{T_{ij} \in \Omega} \{r_{ij} + p_{ij}\} = \min\{0 + 10, 0 + 8, 0 + 4\} = 4$  il tempo in cui terminerebbe per primo uno dei task di  $\Omega$  e  $i^* = 1$  la macchina che si libererebbe conseguentemente per prima, segue che  $\Omega' = \Omega_{i^*} = \Omega_1 = \{T_{11}, T_{13}\}$  ( $T_{11}$  e  $T_{13}$  richiedono la macchina  $i^* = 1$  e sono pronti prima dell'istante 4 in cui questa si libererebbe).

I possibili branch da  $P_0$  sono quindi 2 corrispondenti a schedulare rispettivamente i task  $T_{11}$  e  $T_{13}$ .



## Modelli di shop scheduling

### 10. Il modello $J_m || C_{\max}$

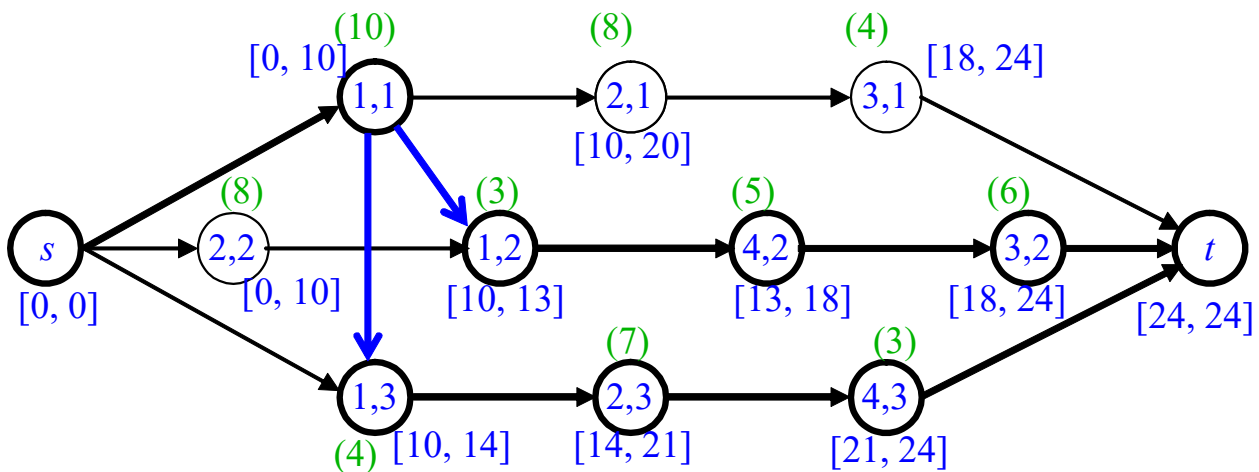
#### 10.4 Algoritmo di Branch&Bound

(continua)

Esaminiamo il sottoproblema relativo al nodo  $P_1$ .

Siccome  $T_{11}$  viene schedulato, consideriamo gli archi disgiuntivi orientati  $(T_{11} \rightarrow T_{12}), (T_{11} \rightarrow T_{13})$ .

Il sottoproblema relativo ha  $LB1(P_1) = 24$  pari alla lunghezza del cammino critico del grafo disgiuntivo depurato degli archi non orientati.



Calcoliamo  $LB2(P_1) = LB1(P_1) + \max_i (\delta_i)$ .

- Macchina 1  $\Rightarrow \delta_1$

Risolviamo la seguente istanza di  $1|r_j|L_{\max}$

job	2	3
$p_j$	3	4
$r_j$	10	10
$d_j$	13	14

La sequenza ottima è  $(2, 3)$  con  $L_{\max}^* = 3$ .  $\Rightarrow \delta_1 = 3$

## Modelli di shop scheduling

### 10. Il modello $J_m||C_{\max}$

#### 10.4 Algoritmo di Branch&Bound

(continua)

- Macchina 2  $\Rightarrow \delta_2$

Risolviamo la seguente istanza di  $1|r_j|L_{\max}$

job	1	2	3
$p_j$	8	8	7
$r_j$	10	0	14
$d_j$	20	10	21

La sequenza ottima è (2, 1, 3) con  $L_{\max}^* = 4$ .  $\Rightarrow \delta_2 = 4$

- Macchina 3  $\Rightarrow \delta_3$

Risolviamo la seguente istanza di  $1|r_j|L_{\max}$

job	1	2
$p_j$	4	6
$r_j$	18	18
$d_j$	24	24

La sequenza ottima è (1, 2) con  $L_{\max}^* = 4$ .  $\Rightarrow \delta_3 = 4$

- Macchina 4  $\Rightarrow \delta_4$

Risolviamo la seguente istanza di  $1|r_j|L_{\max}$

job	2	3
$p_j$	5	3
$r_j$	13	21
$d_j$	18	24

La sequenza ottima è (2, 3) con  $L_{\max}^* = 0$ .  $\Rightarrow \delta_4 = 0$

Pertanto  $LB(P_1) = LB2(P_1) = LB1(P_1) + \max(3, 4, 4, 0) = 24 + 4 = 28$ .



# Modelli di shop scheduling

## 10. Il modello $Jm||C_{\max}$

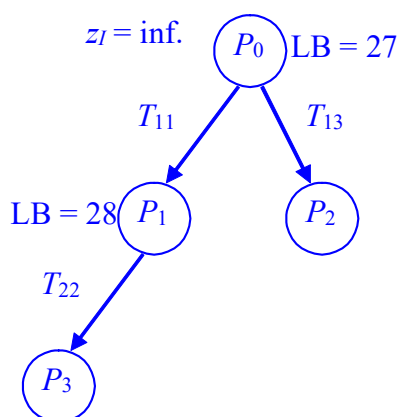
### 10.4 Algoritmo di Branch&Bound

(continua)

Consideriamo ora il branching dal nodo  $P_1$ .

L'insieme  $\Omega$  dei task non schedulati i cui predecessori sono stati schedulati è  $\Omega = \{T_{21}, T_{22}, T_{13}\}$ . Essendo  $t(\Omega) = \min_{T_{ij} \in \Omega} \{r_{ij} + p_{ij}\} = \min\{10 + 8, 0 + 8, 10 + 4\} = 8$  il tempo in cui terminerebbe per primo uno dei task di  $\Omega$  e  $i^* = 2$  la macchina che si libererebbe conseguentemente per prima, segue che  $\Omega' = \{T_{22}\}$  ( $T_{22}$  richiede la macchina  $i^* = 2$  ed è l'unico pronto prima dell'istante 8 in cui questa si libererebbe).

C'è quindi un solo possibile branch da  $P_1$  corrispondente a schedulare il task  $T_{22}$ .



Esaminiamo il sottoproblema relativo al nodo  $P_3$ .

Siccome  $T_{22}$  viene schedulato, consideriamo gli archi disgiuntivi orientati  $(T_{22} \rightarrow T_{21})$ ,  $(T_{22} \rightarrow T_{23})$ .

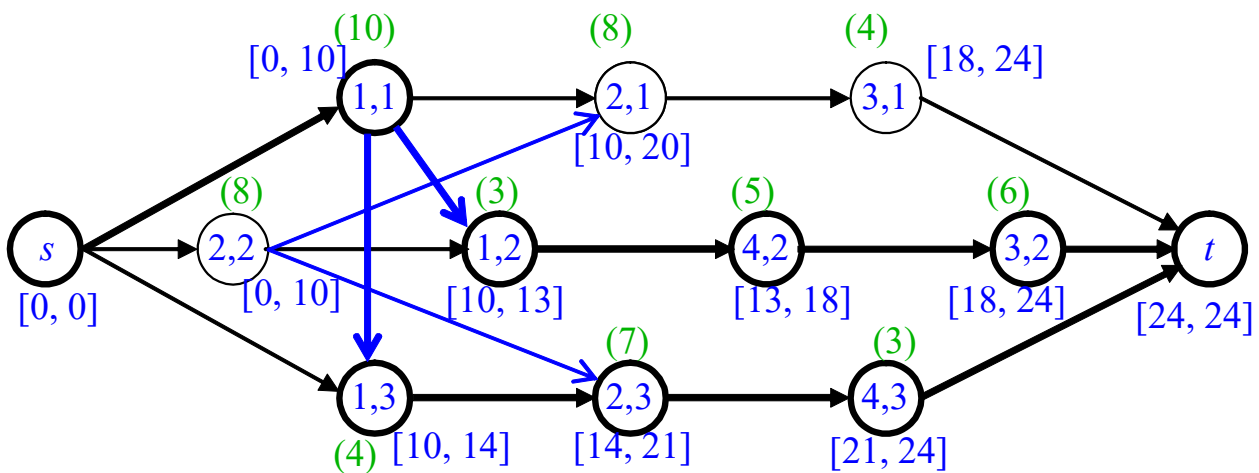
## Modelli di shop scheduling

### 10. Il modello $J_m || C_{\max}$

#### 10.4 Algoritmo di Branch&Bound

(continua)

Il sottoproblema relativo ha  $LB1(P_3) = 24$  pari alla lunghezza del cammino critico del grafo disgiuntivo depurato degli archi non orientati



Calcoliamo  $LB2(P_3) = 24 + \max_i (\delta_i)$ .

- Macchina 1  $\Rightarrow \delta_1$

Risolviamo la seguente istanza di  $1|r_j|L_{\max}$

job	2	3
$p_j$	3	4
$r_j$	10	10
$d_j$	13	14

La sequenza ottima è (2, 3) con  $L_{\max}^* = 3$ .  $\Rightarrow \delta_1 = 3$

# Modelli di shop scheduling

## 10. Il modello $J_m||C_{\max}$

### 10.4 Algoritmo di Branch&Bound

(continua)

- Macchina 2  $\Rightarrow \delta_2$

Risolviamo la seguente istanza di  $1|r_j|L_{\max}$

job	1	3
$p_j$	8	7
$r_j$	10	14
$d_j$	20	21

La sequenza ottima è (1, 3) con  $L_{\max}^* = 4$ .  $\Rightarrow \delta_2 = 4$

- Macchina 3  $\Rightarrow \delta_3$

Risolviamo la seguente istanza di  $1|r_j|L_{\max}$

job	1	2
$p_j$	4	6
$r_j$	18	18
$d_j$	24	24

La sequenza ottima è (1, 2) con  $L_{\max}^* = 4$ .  $\Rightarrow \delta_3 = 4$

- Macchina 4  $\Rightarrow \delta_4$

Risolviamo la seguente istanza di  $1|r_j|L_{\max}$

job	2	3
$p_j$	5	3
$r_j$	13	21
$d_j$	18	24

La sequenza ottima è (2, 3) con  $L_{\max}^* = 0$ .  $\Rightarrow \delta_4 = 0$

Pertanto  $LB(P_3) = LB2(P_3) = LB1(P_3) + \max(3,4,4,0) = 24 + 4 = 28$ .

# Modelli di shop scheduling

## 10. Il modello $Jm||C_{\max}$

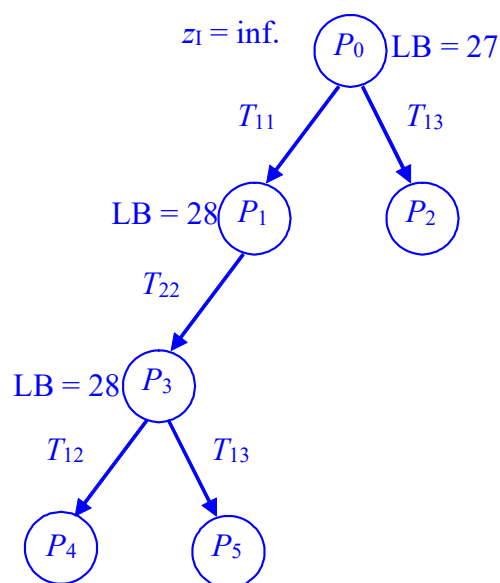
### 10.4 Algoritmo di Branch&Bound

(continua)

Consideriamo ora il branching dal nodo  $P_3$ .

L'insieme  $\Omega$  dei task non schedulati i cui predecessori sono stati schedulati è  $\Omega = \{T_{21}, T_{12}, T_{13}\}$ . Essendo  $t(\Omega) = \min_{T_{ij} \in \Omega} \{r_{ij} + p_{ij}\} = \min\{10 + 8, 10 + 3, 10 + 4\} = 13$  il tempo in cui terminerebbe per primo uno dei task di  $\Omega$  e  $i^* = 1$  la macchina che si libererebbe conseguentemente per prima, segue che  $\Omega' = \{T_{12}, T_{13}\}$  (entrambi richiedono la macchina  $i^* = 1$  e sono pronti prima dell'istante 13 in cui questa si libererebbe).

Ci sono due possibili branch da  $P_3$  corrispondenti a schedulare i task  $T_{12}, T_{13}$ .



## Modelli di shop scheduling

### 10. Il modello $J_m || C_{\max}$

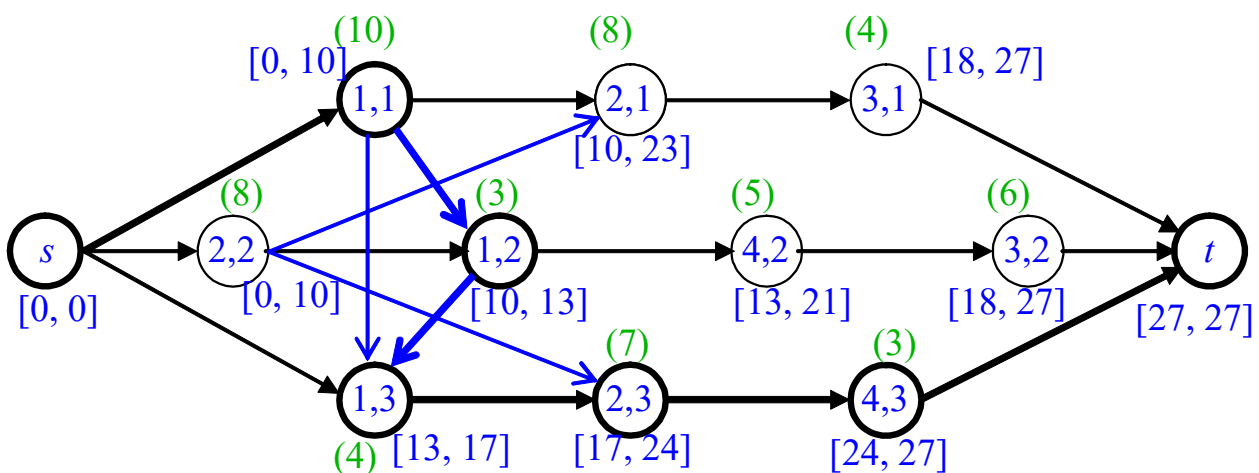
#### 10.4 Algoritmo di Branch&Bound

(continua)

Esaminiamo il sottoproblema relativo al nodo  $P_4$ .

Siccome  $T_{12}$  viene schedulato, consideriamo l'ulteriore arco disgiuntivo orientati ( $T_{12} \rightarrow T_{13}$ ).

Il sottoproblema relativo ha  $LB1(P_4) = 27$  pari alla lunghezza del cammino critico del grafo disgiuntivo depurato degli archi non orientati



Calcoliamo  $LB2(P_4) = 27 + \max_i (\delta_i)$ .

- Macchina 1 già schedulata.

# Modelli di shop scheduling

## 10. Il modello $J_m||C_{\max}$

### 10.4 Algoritmo di Branch&Bound

(continua)

- Macchina 2  $\Rightarrow \delta_2$

Risolviamo la seguente istanza di  $1|r_j|L_{\max}$

job	1	3
$p_j$	8	7
$r_j$	10	17
$d_j$	23	24

La sequenza ottima è (1, 3) con  $L_{\max}^* = 1. \Rightarrow \delta_2 = 1$

- Macchina 3  $\Rightarrow \delta_3$

Risolviamo la seguente istanza di  $1|r_j|L_{\max}$

job	1	2
$p_j$	4	6
$r_j$	18	18
$d_j$	27	27

La sequenza ottima è (1, 2) con  $L_{\max}^* = 1. \Rightarrow \delta_3 = 1$

- Macchina 4  $\Rightarrow \delta_4$

Risolviamo la seguente istanza di  $1|r_j|L_{\max}$

job	2	3
$p_j$	5	3
$r_j$	13	24
$d_j$	21	27

La sequenza ottima è (2, 3) con  $L_{\max}^* = 0. \Rightarrow \delta_4 = 0$

Pertanto  $LB(P_4) = LB2(P_4) = LB1(P_4) + \max(-, 1, 1, 0) = 27 + 1 = 28.$

# Modelli di shop scheduling

## 10. Il modello $Jm||C_{\max}$

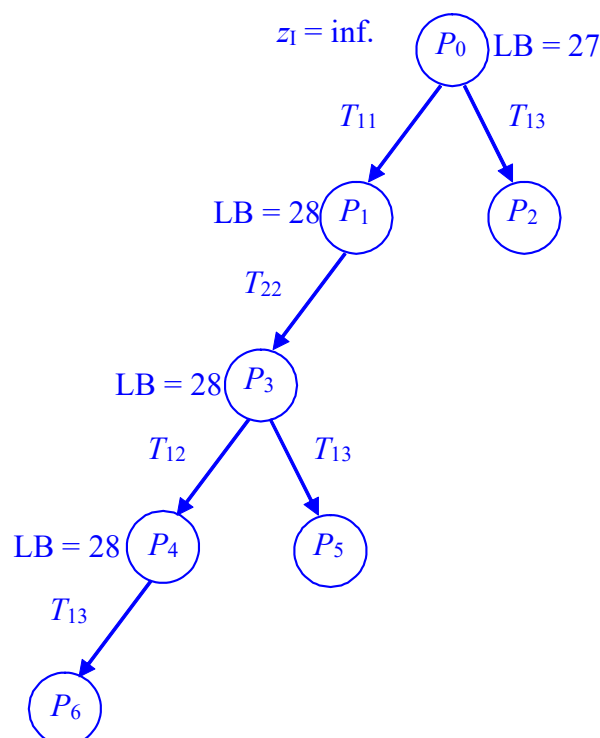
### 10.4 Algoritmo di Branch&Bound

(continua)

Consideriamo ora il branching dal nodo  $P_4$ .

L'insieme  $\Omega$  dei task non schedulati i cui predecessori sono stati schedulati è  $\Omega = \{T_{21}, T_{42}, T_{13}\}$ . Essendo  $t(\Omega) = \min_{T_{ij} \in \Omega} \{r_{ij} + p_{ij}\} = \min\{10 + 8, 13 + 5, 13 + 4\} = 17$  il tempo in cui terminerebbe per primo uno dei task di  $\Omega$  e  $i^* = 1$  la macchina che si libererebbe conseguentemente per prima, segue che  $\Omega' = \{T_{13}\}$  (solo  $T_{13}$  richiede la macchina  $i^* = 1$  ed è pronto prima dell'istante 17 in cui questa si libererebbe).

C'è un solo branch da  $P_4$  corrispondenti a schedulare  $T_{13}$ .



## Modelli di shop scheduling

### 10. Il modello $Jm||C_{\max}$

#### 10.4 Algoritmo di Branch&Bound

(continua)

Esaminiamo il sottoproblema relativo al nodo  $P_6$ .

Siccome  $T_{13}$  viene schedulato, ma non si aggiungono orientandoli ulteriori archi disgiuntivi, abbiamo che  $LB(P_6) = LB(P_4) = 28$ .

Consideriamo ora il branching dal nodo  $P_6$ .

L'insieme  $\Omega$  dei task non schedulati i cui predecessori sono stati schedulati è  $\Omega = \{T_{21}, T_{42}, T_{23}\}$ . Essendo  $t(\Omega) = \min_{T_{ij} \in \Omega} \{r_{ij} + p_{ij}\} = \min\{10 + 8, 13 + 5, 17 + 7\} = 18$  il tempo in cui terminerebbe per primo uno dei task di  $\Omega$  e  $i^* = 2$  la macchina che si libererebbe conseguentemente per prima, segue che  $\Omega' = \{T_{21}, T_{23}\}$  (sia  $T_{21}$  che  $T_{23}$  richiedono la macchina  $i^* = 2$  ed entrambi sono pronti prima dell'istante 18 in cui la macchina si libererebbe).



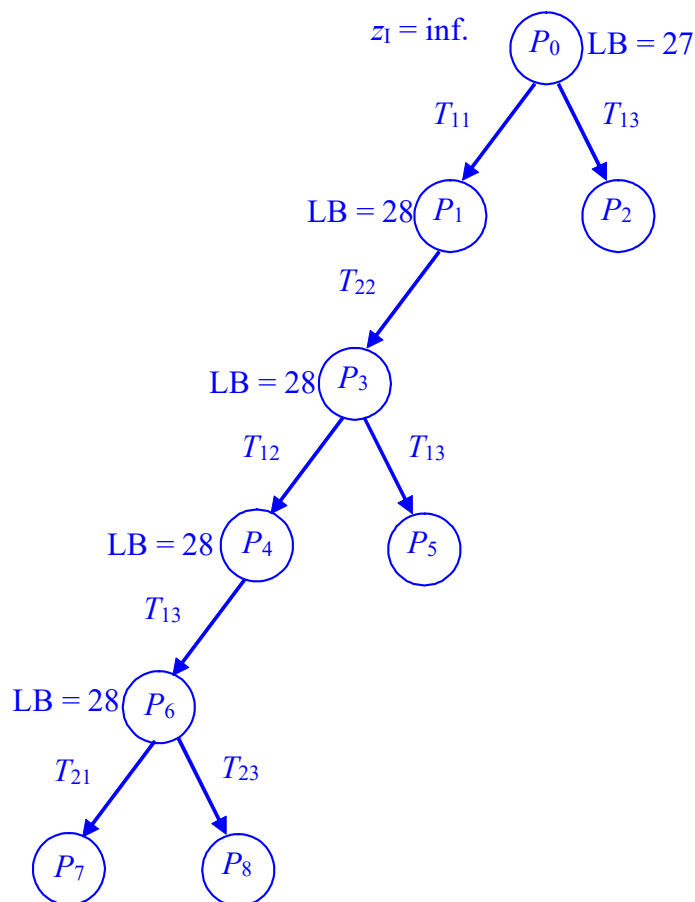
# Modelli di shop scheduling

## 10. Il modello $J_m || C_{\max}$

### 10.4 Algoritmo di Branch&Bound

(continua)

Ci sono due branch da  $P_6$  corrispondenti a schedulare rispettivamente  $T_{21}$  e  $T_{23}$ .



Esaminiamo il sottoproblema relativo al nodo  $P_7$ .

Siccome  $T_{21}$  viene schedulato, consideriamo l'ulteriore arco disgiuntivo orientato ( $T_{21} \rightarrow T_{23}$ ).

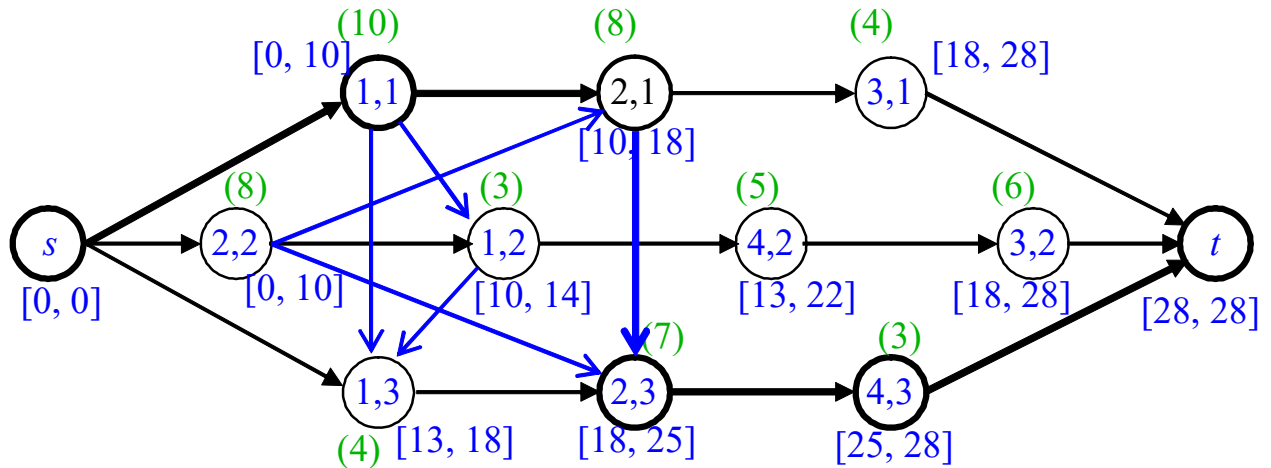
Il sottoproblema relativo ha  $LB1(P_7) = 28$  pari alla lunghezza del cammino critico del grafo disgiuntivo depurato degli archi non orientati

# Modelli di shop scheduling

## 10. Il modello $J_m || C_{\max}$

### 10.4 Algoritmo di Branch&Bound

(continua)



Calcoliamo  $LB2(P_7) = 28 + \max_i(\delta_i)$ .

- Macchine 1 e 2 già schedulate.
- Macchina 3  $\Rightarrow \delta_3$

Risolvi la seguente istanza di  $1|r_j|L_{\max}$

job	1	2
$p_j$	4	6
$r_j$	18	18
$d_j$	28	28

La sequenza ottima è (1, 2) con  $L^*_{\max} = 0$ .  $\Rightarrow \delta_3 = 0$

- Macchina 4  $\Rightarrow \delta_4$

Risolvi la seguente istanza di  $1|r_j|L_{\max}$

job	2	3
$p_j$	5	3
$r_j$	13	25
$d_j$	22	28

La sequenza ottima è (2, 3) con  $L^*_{\max} = 0$ .  $\Rightarrow \delta_4 = 0$

# Modelli di shop scheduling

## 10. Il modello $Jm||C_{\max}$

### 10.4 Algoritmo di Branch&Bound

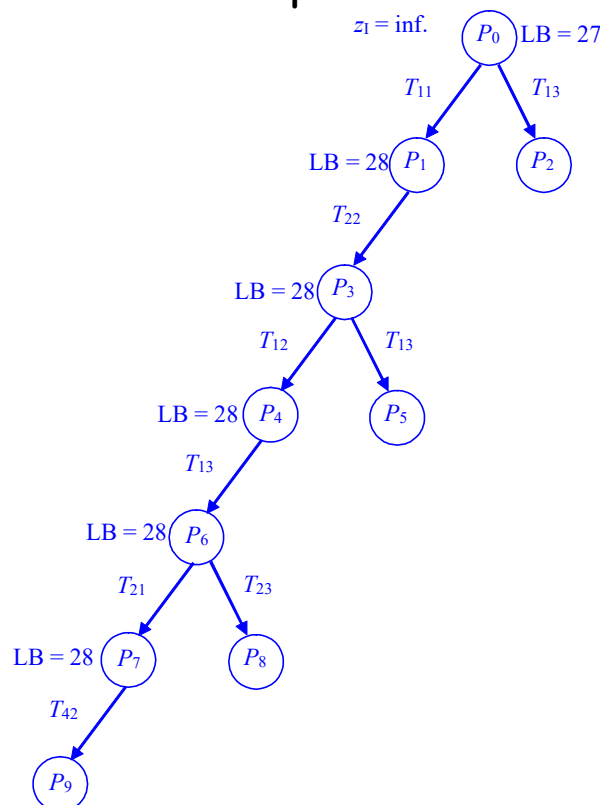
(continua)

$$LB(P_7) = LB2(P_7) = LB1(P_7) + \max(-, -, 0, 0) = 28 + 0 = 28.$$

Consideriamo ora il branching dal nodo  $P_7$ .

L'insieme  $\Omega$  dei task non schedulati i cui predecessori sono stati schedulati è  $\Omega = \{T_{31}, T_{42}, T_{23}\}$ . Essendo  $t(\Omega) = \min_{T_{ij} \in \Omega} \{r_{ij} + p_{ij}\} = \min\{18 + 4, 13 + 5, 18 + 7\} = 18$  il tempo in cui terminerebbe per primo uno dei task di  $\Omega$  e  $i^* = 4$  la macchina che si libererebbe conseguentemente per prima, segue che  $\Omega' = \{T_{42}\}$  (solo  $T_{42}$  richiede la macchina  $i^* = 4$  ed è pronto prima dell'istante 18 in cui questa si libererebbe).

Un solo branch da  $P_7$  corrispondente a schedulare  $T_{42}$ .



## Modelli di shop scheduling

### 10. Il modello $J_m || C_{\max}$

#### 10.4 Algoritmo di Branch&Bound

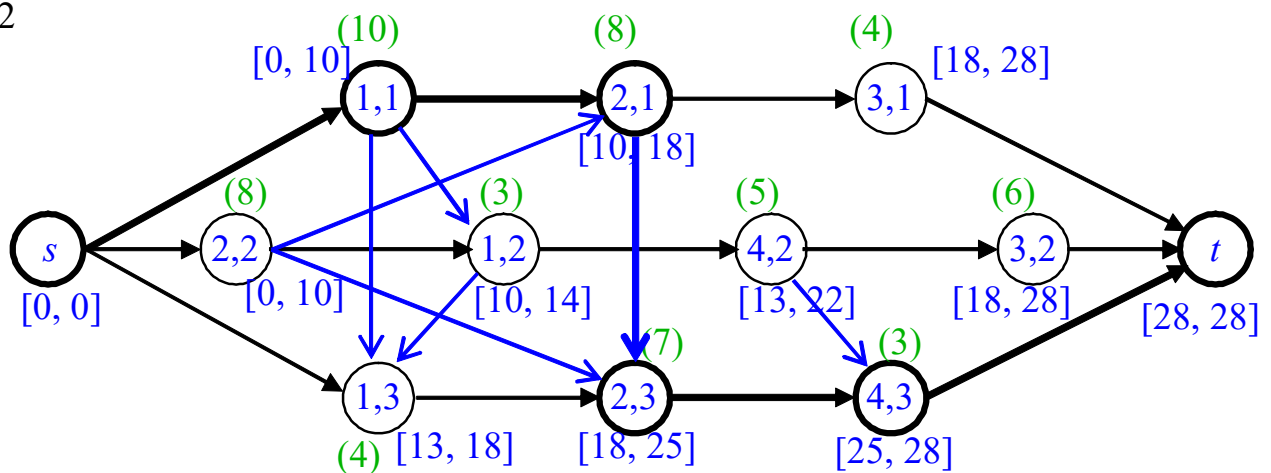
(continua)

Esaminiamo il sottoproblema relativo al nodo  $P_9$ .

Siccome  $T_{42}$  viene schedulato, consideriamo l'ulteriore arco disgiuntivo orientato ( $T_{42} \rightarrow T_{43}$ ).

Il sottoproblema relativo ha  $LB1(P_9) = 28$  pari alla lunghezza del cammino critico del grafo disgiuntivo depurato degli archi non orientati

2



Calcoliamo  $LB2(P_9) = 28 + \max_i (\delta_i)$ .

- Macchine 1, 2 e 4 già schedulate.
- Macchina 3  $\Rightarrow \delta_3$

Risolvi la seguente istanza di  $1|r_j|L_{\max}$

job	1	2
$p_j$	4	6
$r_j$	18	18
$d_j$	28	28

La sequenza ottima è (1, 2) con  $L_{\max}^* = 0$ .  $\Rightarrow \delta_3 = 0$

# Modelli di shop scheduling

## 10. Il modello $Jm||C_{\max}$

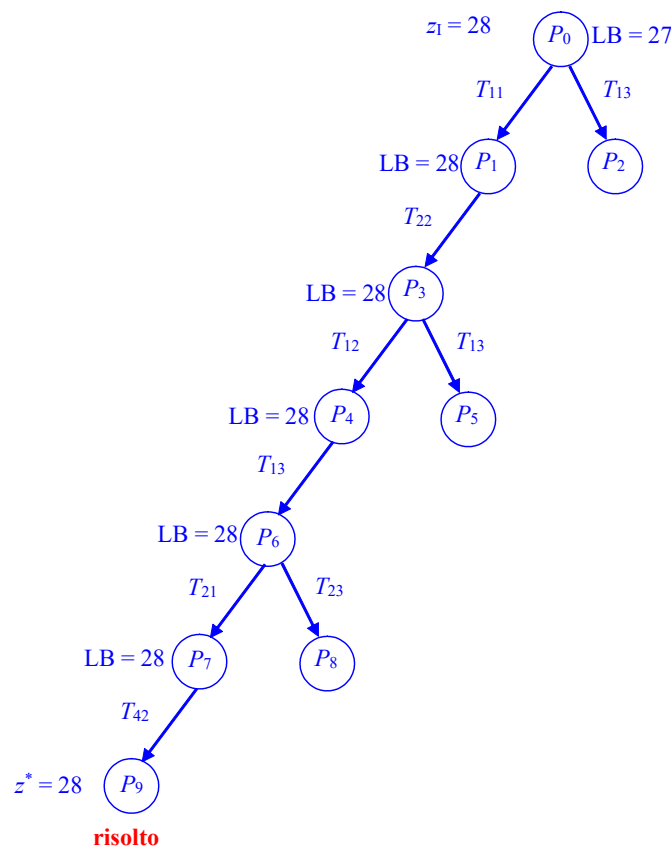
### 10.4 Algoritmo di Branch&Bound

(continua)

Pertanto  $LB(P_9) = LB2(P_9) = LB1(P_9) + \max(-, -, 0, -) = 28 + 0 = 28$ .

Si noti che con l'aggiunta dell'arco  $(T_{3,1} \rightarrow T_{3,2})$ , suggerita dal calcolo di  $LB2(P_9)$ , il grafo contiene tutti gli archi disgiuntivi orientati in modo che il grafo è completamente orientato aciclicamente e quindi la **soluzione** fornita dal calcolo di  $LB2(P_9)$  è ammissibile e quindi **ottima** per  $P_9$ . Quindi  $P_9$  è **risolto** con  $z^*(P_9) = 28$ .

Poniamo quindi  $z_1 = 28$ .



## Modelli di shop scheduling

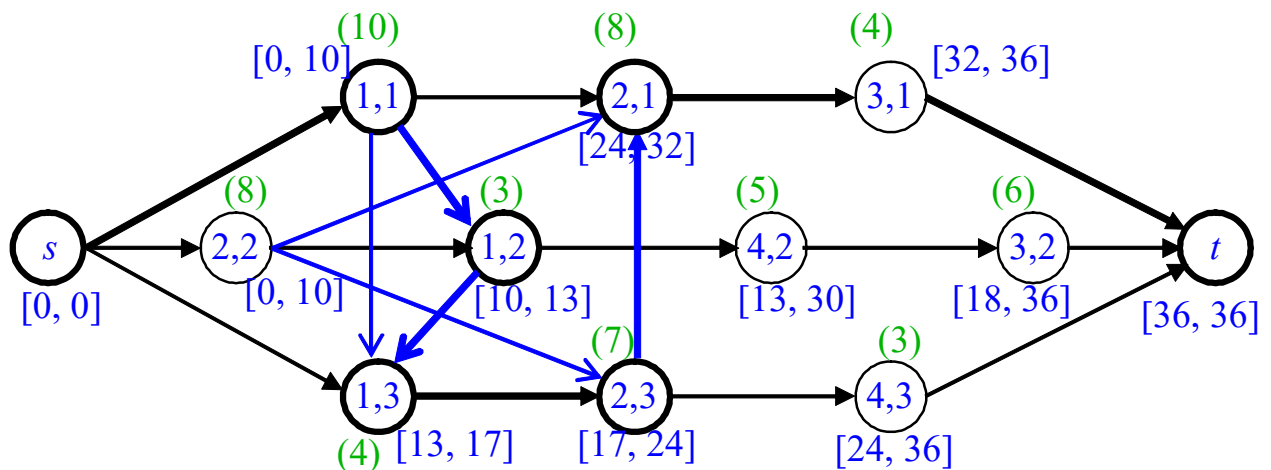
### 10. Il modello $J_m || C_{\max}$

#### 10.4 Algoritmo di Branch&Bound

(continua)

Facciamo backtracking ed esaminiamo il sottoproblema relativo al nodo  $P_8$ .

Siccome  $T_{23}$  viene schedulato (oltre a  $T_{11}$ ,  $T_{22}$ ,  $T_{12}$  e  $T_{13}$ ) il grafo parzialmente orientato comprensivo dell'arco disgiuntivo orientato ( $T_{23} \rightarrow T_{21}$ ) è il seguente.



Il sottoproblema relativo ha  $LB1(P_8) = 36$ .

Siccome  $LB1(P_8) \geq z_1 = 28$ ,  $P_8$  è dominato e il nodo dichiarato *scandagliato*.

## Modelli di shop scheduling

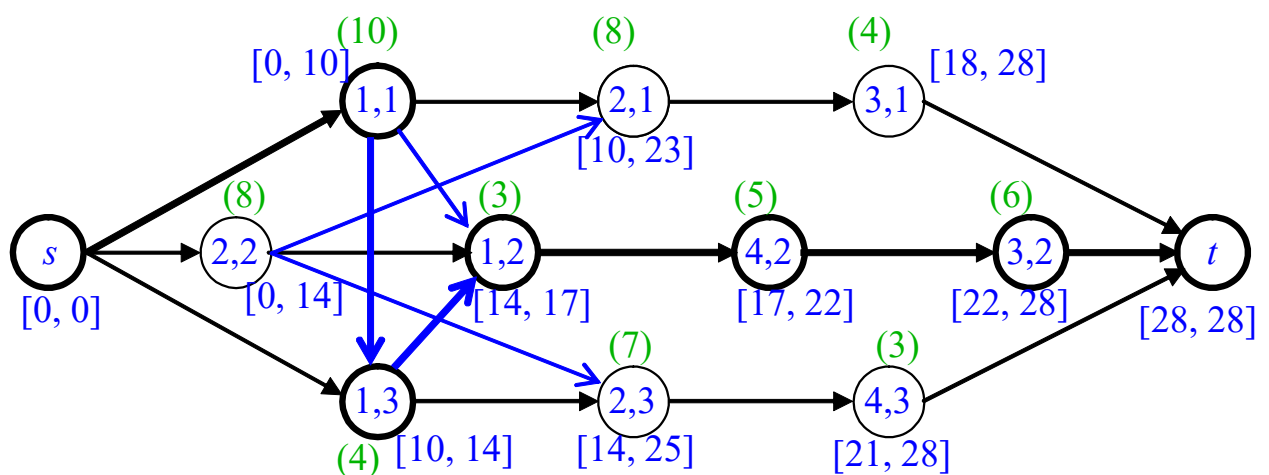
### 10. Il modello $J_m || C_{\max}$

#### 10.4 Algoritmo di Branch&Bound

(continua)

Facciamo backtracking ed esaminiamo il sottoproblema relativo al nodo  $P_5$ .

Siccome  $T_{13}$  viene schedulato (oltre a  $T_{11}$  e  $T_{22}$ ) il grafo parzialmente orientato comprensivo dell'arco disgiuntivo orientato ( $T_{13} \rightarrow T_{12}$ ) è il seguente.



Il sottoproblema relativo ha  $LB1(P_5) = 28$ .

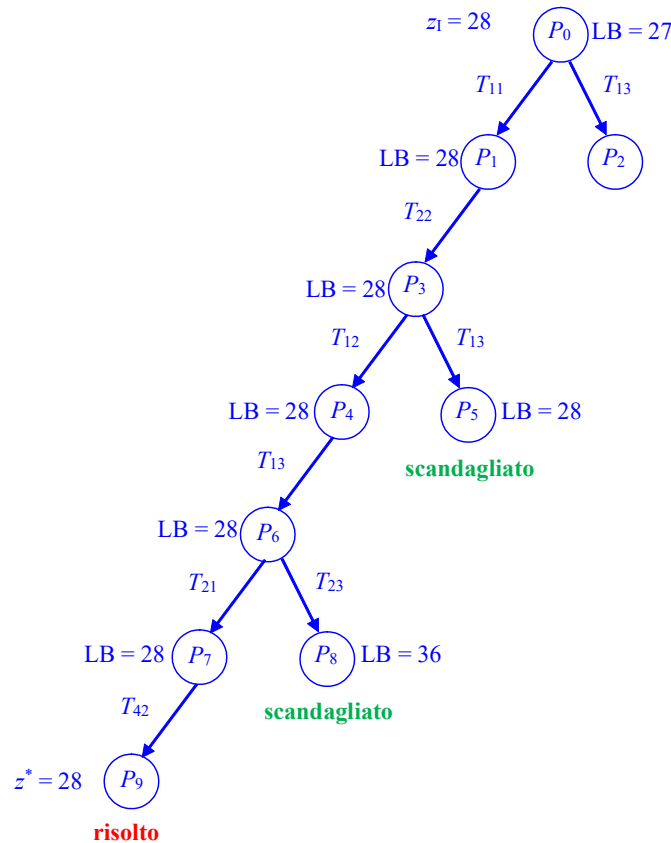
Siccome  $LB1(P_5) \geq z_1 = 28$ ,  $P_5$  è dominato e il nodo dichiarato *scandagliato*.

# Modelli di shop scheduling

## 10. Il modello $Jm||C_{\max}$

### 10.4 Algoritmo di Branch&Bound

(continua)



Facciamo backtracking ed esaminiamo il sottoproblema relativo al nodo  $P_2$ .

Siccome solo  $T_{13}$  viene schedulato il grafo parzialmente orientato contiene gli archi disgiuntivi orientati ( $T_{13} \rightarrow T_{11}$ ) e ( $T_{13} \rightarrow T_{12}$ ).



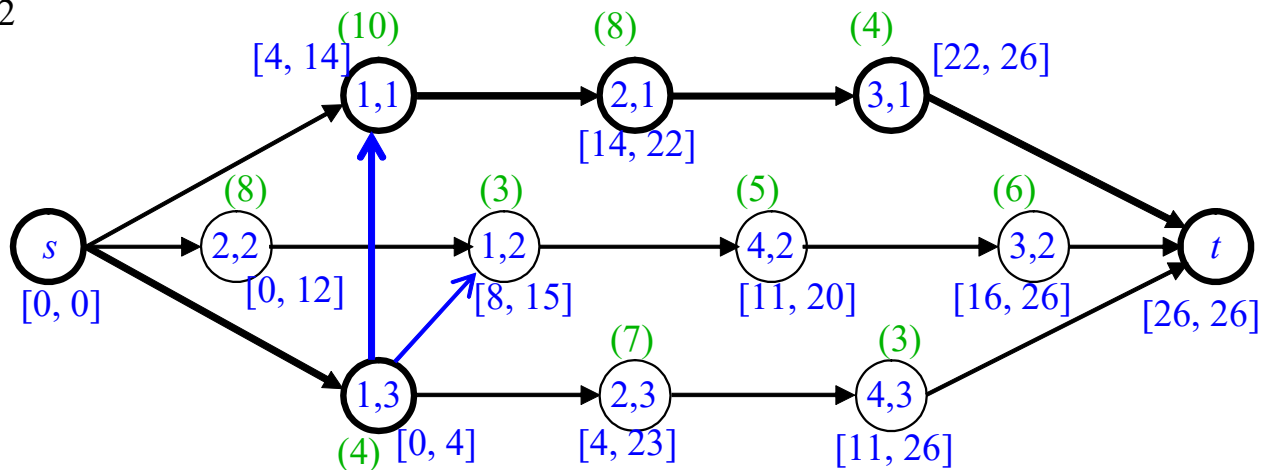
# Modelli di shop scheduling

## 9. Il modello $J_m || C_{\max}$ : Algoritmo di B&B

(continua)

Il grafo corrispondente è

2



Il sottoproblema relativo ha  $LB1(P_2) = 26$ .

Calcoliamo  $LB2(P_2) = LB1(P_2) + \max_i (\delta_i)$ .

- Macchina 1  $\Rightarrow \delta_1$

Risolviamo la seguente istanza di  $1|r_j|L_{\max}$

Job	1	2
$p_j$	10	3
$r_j$	4	8
$d_j$	14	15

La sequenza ottima è (1, 2) con  $L^*_{\max} = 2$ .  $\Rightarrow \delta_1 = 2$

## Modelli di shop scheduling

### 10. Il modello $J_m||C_{\max}$

#### 10.4 Algoritmo di Branch&Bound

(continua)

- Macchina 2  $\Rightarrow \delta_2$

Risolviamo la seguente istanza di  $1|r_j|L_{\max}$

Job	1	2	3
$p_j$	8	8	7
$r_j$	14	0	4
$d_j$	22	12	23

La sequenza ottima è (2, 3, 1) con  $L_{\max}^* = 1. \Rightarrow \delta_2 = 1$

- Macchina 3  $\Rightarrow \delta_3$

Risolviamo la seguente istanza di  $1|r_j|L_{\max}$

Job	1	2
$p_j$	4	6
$r_j$	22	16
$d_j$	26	26

La sequenza ottima è (2, 1) con  $L_{\max}^* = 0. \Rightarrow \delta_3 = 0$

- Macchina 4  $\Rightarrow \delta_4$

Risolviamo la seguente istanza di  $1|r_j|L_{\max}$

Job	2	3
$p_j$	5	3
$r_j$	11	11
$d_j$	20	26

La sequenza ottima è (2, 3) con  $L_{\max}^* = -7. \Rightarrow \delta_4 = 0$

Pertanto  $LB(P_2) = LB2(P_2) = LB1(P_2) + \max(2,1,0,0) = 26 + 2 = 28.$

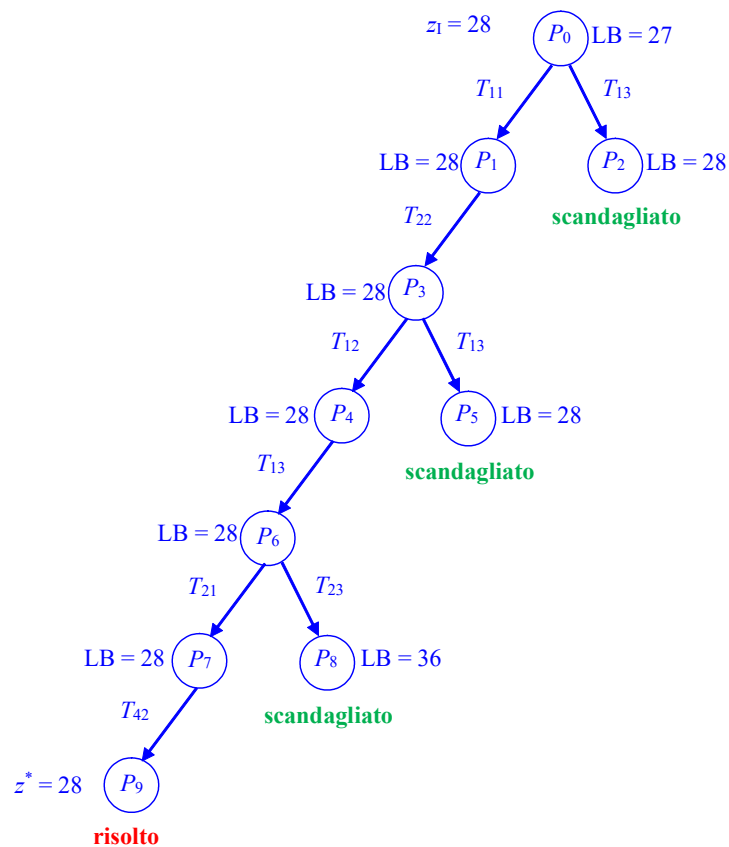
# Modelli di shop scheduling

## 10. Il modello $Jm||C_{\max}$

### 10.4 Algoritmo di Branch&Bound

(continua)

Siccome  $LB_1(P_2) \geq z_1 = 28$ ,  $P_2$  è dominato e il nodo dichiarato *scandagliato*.



Facciamo backtracking. Non ci sono più nodi generati da esaminare. Stop.

# Modelli di shop scheduling

## 10. Il modello $J_m || C_{max}$

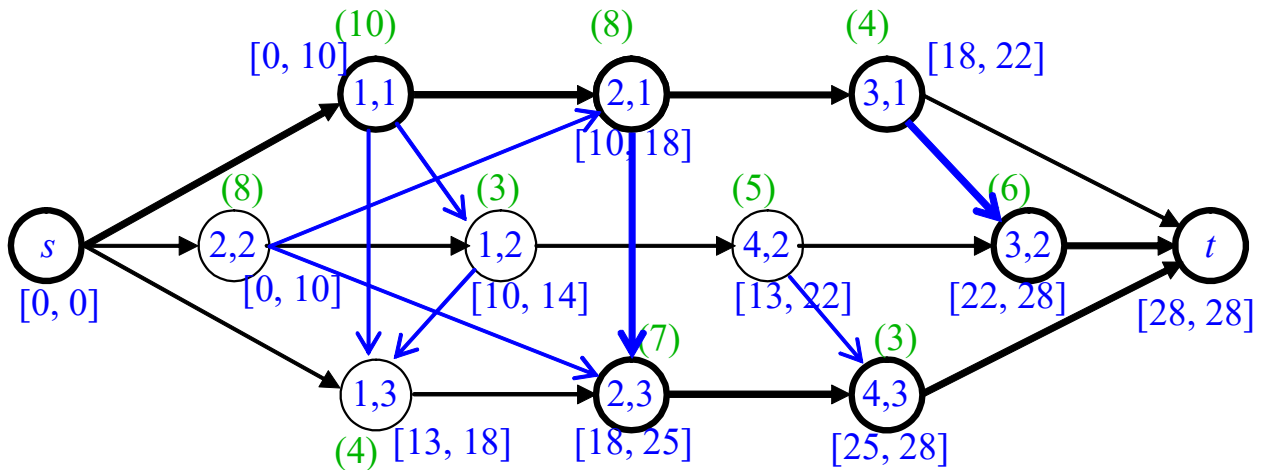
### 10.4 Algoritmo di Branch&Bound

(continua)

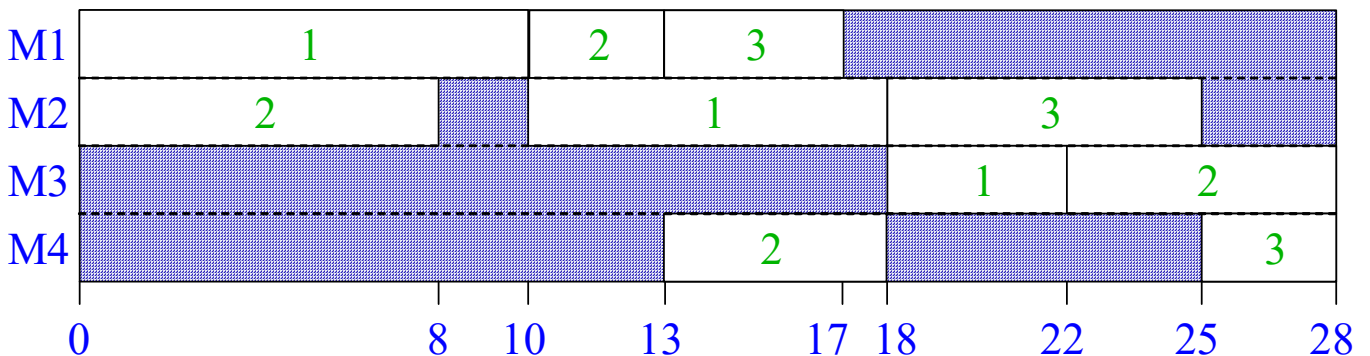
Al termina del B&B, la **soluzione ottima** è quella associata al nodo  $P_9$  rappresentata dalle seguenti **sequenze di job sulle macchine**:

$$\sigma_1 = (1, 2, 3); \sigma_2 = (2, 1, 3); \sigma_3 = (1, 2); \sigma_4 = (2, 3).$$

e corrispondente al seguente **orientamento aciclico del grafo disgiuntivo** con cammini critici di lunghezza 28



dal quale si ricava la seguente **schedula al più presto (earliest start)** di lunghezza (makespan) 28.



# Modelli di shop scheduling

## 11. Note finali sulla complessità

- La seguente tabella riassume i principali risultati sulla complessità dei problemi di shop scheduling.

Problema	Complessità	Note	Riferimenti
$O2  C_{\max}$	$P$	$O(n)$	LAPT $O(n \log n)$ Gonzalez, Sahni (1976)
$O2 \Sigma C_j$	$NP-h$		Achugbe, Chin (1982)
$O3  C_{\max}$	$NP-h$		Gonzalez, Sahni (1976)
$Om n = 2 C_{\max}$	$P$	$O(m)$	Gonzalez, Sahni (1976)
$Om n = 2 \gamma_{reg}$	$P$	$O(m)$	Shakhlevich, Strusevich (1993)
$Om n = 3 C_{\max}$	$NP-h$		Gonzalez, Sahni (1976)
$Om n = 3 \Sigma C_j$	$NP-h$		Sotskov, Shakhlevich (1995)
$F2  C_{\max}$	$P$	$O(n \log n)$	Johnson's rule Johnson (1954)
$F2 \Sigma C_j$	$NP-h$		Du, Leung (1993)
$F3  C_{\max}$	$NP-h$		Garey et al. (1976)
$Fm n = 2 C_{\max}$	$P$	$O(m \log m)$	Sotskov (1991)
$Fm n = 2 \gamma_{reg}$	$P$	$O(m \log m)$	Sotskov (1991)
$Fm n = 3 C_{\max}$	$NP-h$		Sotskov (1991)
$Fm n = 3 \Sigma C_j$	$NP-h$		Sotskov (1991)
$J2  C_{\max}$	$P$	$O(n \log n)$	two ind. $F2  C_{\max}$ Johnson (1954)
$J2 \Sigma C_j$	$NP-h$		Du, Leung (1993)
$J3  C_{\max}$	$NP-h$		Garey et al. (1976)
$Jm n = 2 C_{\max}$	$P$	$O(r^2 \log r)$	$r$ : num. op. che usano la stessa macchina Brucker (1988)
$Jm n = 2 \gamma_{reg}$	$P$	$O(r^2 \log r)$	Sotskov (1991)
$Jm n = 3 C_{\max}$	$NP-h$		Sotskov, Shakhlevich (1995)
$Jm n = 3 \Sigma C_j$	$NP-h$		Sotskov, Shakhlevich (1995)